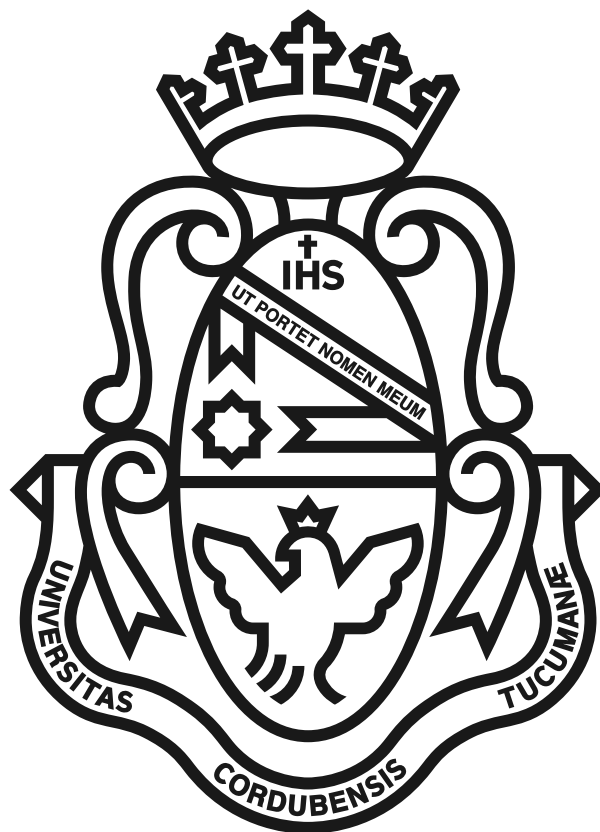


Universidad Nacional de Córdoba  
Facultad de Ciencias Exáctas, Físicas y Naturales



**Proyecto Integrador de la Carrera  
Ingeniería Electrónica**

*”Diseño de un Sumador Rápido en tecnología CMOS  
submicrónica utilizando Herramientas de Software Libre”*

Alumno: Leandro Marsó  
Director: Ing. Pablo O. Cayuela  
Codirector: Ing. Hugo S. Carrer

**Noviembre 2014**





## **Resumen**

El presente trabajo aborda el problema del diseño de un circuito presente en la mayoría de los sistemas digitales, el sumador binario. Se realiza utilizando únicamente herramientas de software libre y en una tecnología que nos permite gran escala de integración de transistores de efecto de campo y elementos pasivos, todos en una pastilla de silicio de dimensiones milimétricas.

# Índice general

---

|   |              |
|---|--------------|
| Índice general  | I            |
| Índice de figuras   | V            |
| Índice de cuadros   | VII          |
| Glossary  | IX           |
| <b>1. INTRODUCCIÓN</b>  | <b>XI</b>    |
| 1.1. Estructura del Proyecto Integrador . . . . .                                 | XI           |
| 1.2. Planteamiento del problema y motivación . . . . .                            | XI           |
| 1.3. Objetivos generales . . . . .  | XII          |
| 1.4. Objetivos particulares . . . . .   | XII          |
| 1.5. Plan de Trabajo . . . . .  | XIII         |
| <br><b>I Diseño Digital</b>   | <br><b>1</b> |
| <b>2. ESPECIFICACIONES DE DISEÑO</b>  | <b>3</b>     |
| 2.1. Introducción . . . . .   | 3            |
| 2.2. Métricas de calidad . . . . .  | 3            |
| 2.2.1. Performance . . . . .  | 3            |
| 2.2.2. Potencia promedio disipada . . . . .                                       | 5            |
| 2.2.3. Área . . . . .   | 5            |
| 2.2.4. Resumen . . . . .  | 5            |
| <br><b>3. SUMADORES</b>   | <br><b>7</b> |
| 3.1. Introducción . . . . .   | 7            |
| 3.1.1. Selección de la arquitectura . . . . .                                     | 7            |
| 3.2. Fundamentos teóricos de la suma . . . . .                                    | 8            |
| 3.2.1. Semisumador y sumador completo . . . . .                                   | 9            |
| 3.2.2. Sumadores <i>carry lookahead</i> . . . . .                                 | 10           |
| 3.2.3. Desenrollando la recurrencia del acarreo . . . . .                         | 11           |
| 3.2.4. Sumadores de Prefijo Paralelos ( <i>Parallel Prefix Adders</i> ) . . . . . | 11           |
| 3.2.5. Sumador de Brent-Kung . . . . .  | 13           |
| 3.2.6. Sumador de Sklansky . . . . .  | 15           |

---

|   |           |
|---|-----------|
| <b>4. IMPLEMENTACIÓN DE LOS CIRCUITOS EN LENGUAJE DE DESCRIPCIÓN DE <i>hardware</i></b>                     | <b>19</b> |
| 4.1. Introducción . . . . .   | 19        |
| 4.1.1. Breve reseña de HDLs . . . . .   | 19        |
| 4.1.2. Nuevos HDL . . . . .   | 19        |
| 4.1.3. ¿Por qué Lava? . . . . .   | 20        |
| 4.2. Implementación en lenguaje de descripción de hardware . . . . .  | 21        |
| 4.2.1. Implementación del sumador de <b>ripple carry</b> en Lava . . . . .                                  | 21        |
| 4.2.2. Patrones de conexión . . . . .   | 21        |
| 4.2.3. Sumador de Brent-Kung . . . . .  | 23        |
| 4.2.4. Sumador de Sklansky . . . . .  | 25        |
| 4.2.5. Simulación . . . . .   | 25        |
| 4.2.6. Síntesis del <i>netlist</i> VHDL . . . . .   | 26        |
| <b>5. VERIFICACIÓN FORMAL</b>   | <b>27</b> |
| 5.1. Modelo de referencia . . . . .   | 27        |
| 5.2. Verificación de las Propiedades . . . . .  | 28        |
| 5.2.1. Propiedades de la suma . . . . .   | 28        |
| 5.2.2. Descripción de las propiedades en el RCA . . . . .   | 28        |
| 5.2.3. Equivalencia lógica entre el modelo de referencia y los sumadores de Brent-Kung y Sklansky . . . . . | 29        |

## II Diseño Físico 31

|  |           |
|--|-----------|
| <b>6. Flujo de Diseño Físico</b>   | <b>33</b> |
| 6.1. Introducción . . . . .  | 33        |
| 6.1.1. Etapas del diseño físico . . . . .  | 33        |
| 6.2. Relevamiento, comparación y selección de las herramientas disponibles . . . . .                   | 35        |
| 6.2.1. Relevamiento . . . . .  | 36        |
| 6.2.2. Comparación . . . . .   | 36        |
| 6.2.3. Selección . . . . .   | 37        |
| 6.3. Selección del proceso de fabricación . . . . .  | 37        |
| 6.3.1. Obleas multiproyectos . . . . .   | 38        |
| 6.3.2. <i>Corners</i> de simulación . . . . .  | 40        |
| 6.4. Selección de las Celdas estándar . . . . .  | 40        |
| 6.4.1. Características . . . . .   | 41        |
| 6.5. Ubicación y Cableado ( <i>Place &amp; Route</i> ) . . . . .                                       | 42        |
| 6.5.1. Modificación al código fuente de la herramienta de generación del <i>netlist</i> VHDL . . . . . | 42        |
| 6.5.2. Configuración de la herramienta de <b>Place &amp; Route (PnR)</b> . . . . .                     | 43        |
| 6.5.3. Distintas alternativas y resultados . . . . .   | 44        |
| 6.6. Comparación de las distintas arquitecturas . . . . .  | 46        |
| 6.6.1. Simulación post <i>layout</i> para calcular performance y potencia . . . . .                    | 46        |
| 6.6.2. Medición de la performance en un sumador . . . . .  | 48        |
| 6.6.3. Medición de la potencia en un sumador . . . . .   | 49        |
| 6.6.4. Potencia y performance de todas las arquitecturas . . . . .                                     | 50        |

---

|  |           |
|--|-----------|
| 6.6.5. Comparación de performance, potencia y área . . . . . | 51        |
| <b>III Conclusiones</b>                                      | <b>53</b> |
| <b>7. Conclusiones finales</b>                               | <b>55</b> |
| 7.1. Metodología . . . . .                                   | 55        |
| 7.2. Resultados . . . . .                                    | 56        |
| 7.3. Aplicaciones . . . . .                                  | 56        |
| 7.4. Desafíos futuros . . . . .                              | 57        |
| <b>A. NETLIST VHDL</b>                                       | <b>59</b> |
| <b>B. SCRIPT PERL</b>  | <b>63</b> |
| <b>C. DESCRIPCIÓN EN LAVA DEL SUMADOR DE SKLANSKY</b>        | <b>65</b> |
| <b>D. BANCO DE PRUEBA PARA SIMULACIONES EN GNUCAP</b>        | <b>67</b> |
| D.1. Análisis de potencia de los sumadores . . . . .         | 67        |
| D.2. Análisis de performance en los sumadores . . . . .      | 69        |
| <b>E. SCRIPTS PARA GRAFICAR LAS FORMAS DE ONDAS</b>          | <b>71</b> |
| <b>Bibliografía</b>  | <b>73</b> |

---



# Índice de figuras

|  |    |
|--|----|
| 2.1. Retardo de propagación de un inversor . . . . .   | 4  |
| 2.2. Estimación de Potencia Promedio Disipada . . . . .  | 5  |
| 3.1. Retardo respecto al tamaño de los operandos . . . . .   | 8  |
| 3.2. Área respecto al tamaño de los operandos . . . . .  | 8  |
| 3.3. Bit adders . . . . .  | 9  |
| 3.4. Ripple Carry Adder . . . . .  | 10 |
| 3.5. CLA 4-bits . . . . .  | 12 |
| 3.6. Red de prefijo en serie, una forma gráfica de ver la ecuaciones del cálculo prefijo en 3.8. Notar que cada línea representa dos bits. Los puntos negros representan al operador acarreo. . . . .  | 14 |
| 3.7. Operator Punto de Brent-Kung . . . . .  | 14 |
| 3.8. Generación y Propagación del Acarreo . . . . .  | 15 |
| 3.9. Sumador de prefijo paralelo . . . . .   | 16 |
| 3.10. Red de prefijo paralelo para Brent-Kung (ejemplo de 16 bits) . . . . .   | 16 |
| 3.11. Sumador de Brent-Kung . . . . .  | 17 |
| 3.12. Red de prefijo paralelo para Sklansky (ejemplo de 16 bits) . . . . .   | 17 |
| 4.1. Diferentes patrones de conexión de circuitos . . . . .  | 22 |
| 4.2. Construcción de la red de prefijos paralelos de Brent-Kung. . . . .   | 23 |
| 5.1. Circuito que nos sirve para describir la suma del elemento neutro . . . . .   | 29 |
| 6.1. Flujo de diseño Físico . . . . .  | 34 |
| 6.2. Representación en tres dimensiones de una celda estándar con 3 capas de metales en color arena, y una capa de silicio policristalino en color ladrillo. Azul y rojo son dopado $N^+$ y $P^+$ respectivamente . . . . .  | 35 |
| 6.3. Mapeo de una función lógica a una celda estándar . . . . .  | 41 |
| 6.4. Grilla de interconexionado y riel de alimentación de las celdas estándar de $128\lambda$ . Por encima de cada celda, pueden pasar 16 pistas horizontales que la herramienta de conexionado tendrá a disposición, a partir del metal 3 para arriba. Notar la separación de $8\lambda$ para todas las pistas horizontales, y $8\lambda$ para las verticales también. Sólo en la intersección de las pistas puede ubicarse los pines de entrada/salida de la celda, así como los contactos a <i>bulk</i> . . . . . | 42 |
| 6.5. Conjunto de celdas estándar . . . . .   | 43 |
| 6.6. Configuración del Silicon Compiler . . . . .  | 43 |

---

|  |    |
|--|----|
| 6.7. Tres arquitecturas y tres tamaños de sumandos distintos. Los circuitos están en escala, la unidad de los dos ejes es $\lambda = 90 \text{ nm}$ . . . . .  | 45 |
| 6.8. Configuración de Electric para la extracción del circuito y simulación en un motor tipo Spice. . . . .  | 46 |
| 6.9. Oscilador anillo de 31 etapas . . . . .   | 48 |
| 6.10. Simulación de régimen transitorio del circuito Ripple Carry 8 bits. De los vectores de entradas, sólo mostramos el bit menos significativo de la entrada A, porque es el único que cambia. Las señales de salidas están ordenadas para mostrar la más lenta cerca de la entrada y poder calcular el retardo. . . . . | 49 |
| 6.11. Simulación de régimen transitorio del circuito Ripple Carry 8 bits. Para calcular $t_{pHL}$ y $t_{pLH}$ lo hacemos sobre la señal más lenta del circuito, que en este caso es el bit más significativo de la suma . . . . .  | 50 |
| 6.12. Simulación de régimen transitorio del circuito Ripple Carry 8 bits. Mostramos la corriente instantánea a través de la fuente de alimentación, el valor negativo se debe a que la corriente sale de la fuente. . . . .  | 50 |

# Índice de cuadros

---

|  |    |
|--|----|
| 2.1. Especificaciones de diseño para el sumador binario . . . . .  | 3  |
| 2.2. Métricas de comparación . . . . .   | 6  |
| 3.1. Resumen de las funciones de retardo y área algunos sumadores . . . . .  | 9  |
| 6.1. Procesos disponibles por medio de MOSIS . . . . .   | 38 |
| 6.2. Procesadores fabricados en CMOS 180nm . . . . .   | 39 |
| 6.3. Ubicación y conexionado para Ripple carry en 3 tamaños: 8, 16 y 32 bits. Las dimensiones de los lados y el área están en $\lambda$ y $\lambda^2$ respectivamente. . . . . | 44 |
| 6.4. Ubicación y conexionado para Sklansky en 3 tamaños: 8, 16 y 32 bits. Las dimensiones de los lados y el área están en $\lambda$ y $\lambda^2$ respectivamente. . . . .     | 44 |
| 6.5. Ubicación y conexionado para Brent-Kung en 3 tamaños: 8, 16 y 32 bits. Las dimensiones de los lados y el área están en $\lambda$ y $\lambda^2$ respectivamente. . . . .   | 44 |
| 6.6. Simulación post <i>layout</i> del oscilador anillo de 31 etapas . . . . .   | 48 |
| 6.7. Comparación de los resultados de las 3 arquitecturas . . . . .  | 51 |

---

# Glossary

---

**CTS** Clock Tree Synthesis. [34](#)

**DRC** Design Rule Check. [36](#), [43](#)

**IDMs** Integrated Device Manufacturers. [38](#)

**LVS** Layout Vs. Schematic. [36](#)

**PDK** Process Design Kit. [36](#)

**PnR** Place & Route. [II](#), [34](#), [36](#), [37](#), [42–44](#), [56](#), [57](#)

**STA** Static Timing Analysis. [36](#), [37](#), [57](#)

---

# Capítulo 1

## INTRODUCCIÓN

---

En el presente capítulo se describe de forma general la estructura y contenido de todo el trabajo. Detallamos el planteo del problema y la motivación para llevarlo a cabo. Luego definimos los objetivos generales y particulares, y enunciamos el plan de trabajo que nos hemos propuesto.

### 1.1. Estructura del Proyecto Integrador

**Parte I - Diseño digital:** Definimos las métricas que utilizaremos para seleccionar calificar la implementación de los sumadores. Seleccionamos tres arquitecturas para implementar y desarrollamos los fundamentos teóricos de estas implementaciones. Seleccionamos un lenguaje de descripción de *hardware*, implementamos los circuitos, simulamos y verificamos formalmente los mismo. Generamos tres *netlist* VHDL de cada arquitectura para 3 tamaños de sumandos distintos: 8, 16 y 32 bits.

**Parte II - Implementación Física:** Explicamos el flujo de diseño físico, seleccionamos herramientas de software para realizarlo, seleccionamos una tecnología de fabricación, creamos nuestras celdas estándar y realizamos de forma automática el *layout* del circuito. Simulamos los circuitos para obtener las mediciones de nuestras métricas de calidad y comparamos todas las implementaciones.

**Parte III - Conclusiones:** Realizamos un resumen de lo que se logró, haciendo énfasis en la metodología, los resultados y las aplicaciones. Planteamos mejoras a nuestro trabajo y desafíos futuros para el diseño de circuitos integrados.

### 1.2. Planteamiento del problema y motivación

En la actualidad los microprocesadores, DSP, microcontroladores, y otro hardware específico para cálculo computacional o de aplicación específica son desarrollados en tecnología CMOS submicrónica. El problema planteado es, ¿Cómo hacer para diseñar circuitos integrados en ésta tecnología, con herramientas flexibles, libres<sup>1</sup> y accesibles para todo tipo de uso: académico y comercial?.

Nos interesa este problema por varios motivos, pero el principal es poder acercar estas tecnologías sin restricciones a los estudiantes de grado. Las posibilidades de aplicaciones de los

---

<sup>1</sup>En el sentido que no impongan restricciones de uso, estudio, mejora y distribución.

---

circuitos integrados son infinitas, ya que podemos controlar todas las dimensiones físicas de los transistores y elementos pasivos que integramos. Utilizando software libre, también existe la posibilidad de adaptar o mejorar las herramientas que utilizamos para el diseño.

Otra motivación importante es la económica: Los costos por licencias de las herramientas de software, pueden transformar un proyecto de bajo volumen de producción en económicamente no factible. Damos un ejemplo real:

El costo de 25 chips en tecnología de  $0.35\ \mu\text{m}$  con un área máxima de  $3\text{mm}^2$ , con encapsulado DIP-20 fabricados por medio de CMP<sup>1</sup> es de €2787.5, resultando el costo de fabricación en €111.5 por unidad. Pero si tenemos en cuenta el costo de las licencias de software por un año, el costo total se incrementa en un orden de magnitud, como mínimo<sup>2</sup>.

En función del problema planteado y de las motivaciones mencionadas, nos propusimos implementar un sumador binario ya que es un circuito presente en la mayoría de los sistemas, que además puede ser el bloque de mayor requerimiento de performance.

### 1.3. Objetivos generales

El objetivo del proyecto es diseñar un sumador de n-bits, que pueda ser utilizado en un sistema digital, especificando las características más importantes que nos permitan determinar su utilización según requerimientos de tamaño en bits, performance, potencia y área. Lograremos un diseño paramétrico según la cantidad de bits, que podrá ser usado en unidades aritméticas o formar parte de un sistema de procesamiento de señales digitales. Integrar y documentar una metodología de diseño utilizando herramientas de software libre también es un objetivo de este trabajo, para que pueda ser reproducida, mejorada o adaptada a las necesidades de futuros proyectos que se planteen el diseño de circuitos integrados.

### 1.4. Objetivos particulares

El objetivo general de este proyecto integrador se puede lograr si nos planteamos los siguientes objetivos particulares:

- Estudiar las técnicas actuales para implementar sumadores rápidos y definir métricas de calidad.
- Releva las herramientas de software disponibles para hacer diseño digital y diseño físico, y las tecnologías de fabricación de circuitos integrados.
- Implementar la suma con una arquitectura básica para referencia y comparación, y dos arquitecturas rápidas. Implementar los circuitos en un lenguaje de descripción de hardware y realizar la implementación física.

---

<sup>1</sup>CMP es una organización que presta el servicio para la fabricación de circuitos integrados y MEMS para prototipado y bajo volumen de producción

<sup>2</sup>El costo de licencia de un conjunto completo de herramientas por un año puede llegar hasta \$1.000.000 (dólares norteamericanos). Este tipo de información no está públicamente disponible.



- 
- Crear *scripts* que nos permitan pasar de una etapa a la otra del diseño de forma automática, realizando las modificaciones necesarias para adaptar la salida de un proceso a la entrada del siguiente.
  - Verificar su funcionamiento y extraer métricas de calidad para poder compararlas.

## 1.5. Plan de Trabajo

Se estableció el siguiente plan de trabajo para llevar adelante el proyecto:

1. Comprender los requerimientos del diseño y fabricación de los circuitos integrados, y la relación con las herramientas de software.
2. Diseñar cada una de las arquitecturas a implementar, simularlas y verificar su correcto funcionamiento.
3. Realizar bancos de prueba (*test benches*) para poder generar las métricas de calidad.
4. Generar conclusiones a partir de los resultados y proponer desafíos futuros.

---

# **Parte I**

## **Diseño Digital**



## Capítulo 2

# ESPECIFICACIONES DE DISEÑO

---

### 2.1. Introducción

Los sumadores binarios son utilizados en la adición, la resta, la multiplicación y la división. La velocidad de un sistema de procesamiento de señales, o un sistema de comunicación depende fuertemente de **estas unidades funcionales**(20). Para cada una de esas operaciones, son necesarios sumadores de distinta cantidad de bits en el mismo diseño. Por lo cual, no se trata solamente de encontrar la arquitectura que para una determinada cantidad de bits logre el mejor compromiso de área, potencia y velocidad. Sino que también esta relacion se mantenga óptima para diferentes tamaños del sumador.

Por estas razones, precisamos diseñar un sumador de N-dígitos que sea lo más rápido posible, manteniendo una relación de compromiso óptima entre la velocidad, consumo de energía y área del circuito. Estas características las resumimos en el cuadro 2.1.

| Parámetro               | Especificación                             |
|-------------------------|--|
| Sumandos                | Dos <sup>1</sup>                           |
| Cantidad de Dígitos     | Parametrizable                             |
| Proceso de fabricación  | Disponible por medio de MOSIS <sup>2</sup> |
| Retardo de propagación  | Lo mas bajo posible                        |
| Potencia total disipada | Tan bajo como sea posible                  |
| Área del Circuito       | La menor posible                           |

Cuadro 2.1: Especificaciones de diseño para el sumador binario

### 2.2. Métricas de calidad

Definiremos las métricas que nos permitan dar cuenta de la calidad del diseño.

#### 2.2.1. Performance

El término performance puede representar distintas métricas, según desde qué perspectiva se esté realizando el análisis. Pero si nos enfocamos puramente en el diseño, la performance en

los sistemas síncronos se define usualmente(20) como la duración del período del reloj (o su frecuencia). El valor mínimo de período de clock que pueda ser usado para una tecnología y un diseño dado, está definido por múltiples factores, como el tiempo que le toma a las señales propagarse a través de la lógica (retardo de propagación), el tiempo que lleva entrar y salir los datos de los registros, la incertidumbre de llegada del reloj (*clock uncertainty*). Pero el núcleo de todo análisis de performance reside en la performance de una sola compuerta.

## Retardo de propagación

El retardo de propagación  $t_p$  de una compuerta define cuán rápido responde un circuito a un cambio en su(s) entrada(s). Expresa el retardo experimentado por una señal cuando pasa a través de una compuerta. Medido entre el 50 % del punto de transición de entrada y salida, como mostramos en la figura 2.1, correspondiente al tiempo de propagación de una compuerta inversora. Ya que el tiempo de propagación es distinto según el flanco de entrada, se definen 2 tiempos de propagación. El  $t_{pLH}$  es el tiempo de respuesta de una compuerta para una transición de la salida desde bajo a alto, mientras que  $t_{pHL}$  se refiere a el tiempo para una transición de la salida desde alto a bajo. El retardo de propagación  $t_p$  se define como el promedio de estos dos.

$$t_p = \frac{t_{pLH} + t_{pHL}}{2}$$

## Camino Crítico

En un circuito digital con varias entradas y salidas, pueden existir mas de un camino desde la entrada hasta la salida. Se suele denominar camino crítico a aquel camino que tenga el mayor retardo de propagación, ya sea por cantidad de lógica que atraviesa o por las capacidades parásitas de las conexiones. El retardo de propagación de este circuito será el retardo de propagación del camino crítico.

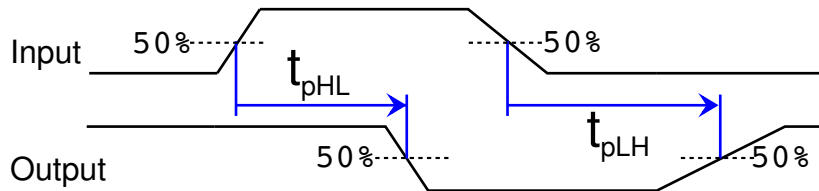


Figura 2.1: Retardo de propagación de un inversor

## Mínimo retardo de propagación

Para poder comparar la performance de distintas tecnologías, se busca un circuito que no incluya parámetros como el fan-in o fan-out, que influyen en los tiempos  $t_f$ ,  $t_r$  y  $t_f$ . Por ello, el circuito que es un estándar de facto para medir el tiempo de propagación, es el oscilador anillo (*ring oscillator*), que es un número impar de inversores conectados en serie, con la salida conectada a la entrada. Este circuito oscila espontáneamente, a una frecuencia de  $T = 2 \times t_p \times N$ , con  $N$  el número de inversores en la cadena.

Contar con esta métrica nos permitirá tener una referencia del límite inferior impuesto por la tecnología que se esté utilizando. Por ejemplo, tomemos la tecnología TSMC de 180 nm: La

frecuencia de un oscilador anillo de 31 etapas es de 377,13 MHz. Es decir que el tiempo de propagación de una celda inversora en esta tecnología es  $t_p = 47,8 \text{ ps}$

### 2.2.2. Potencia promedio disipada

Realizamos el análisis de potencia a lo largo de un período de tiempo  $T$ . La potencia promedio disipada total la podemos calcular si conocemos la corriente instantánea que brinda la fuente de tensión  $V_{DD}$ , como podemos ver en la ecuación 2.1.

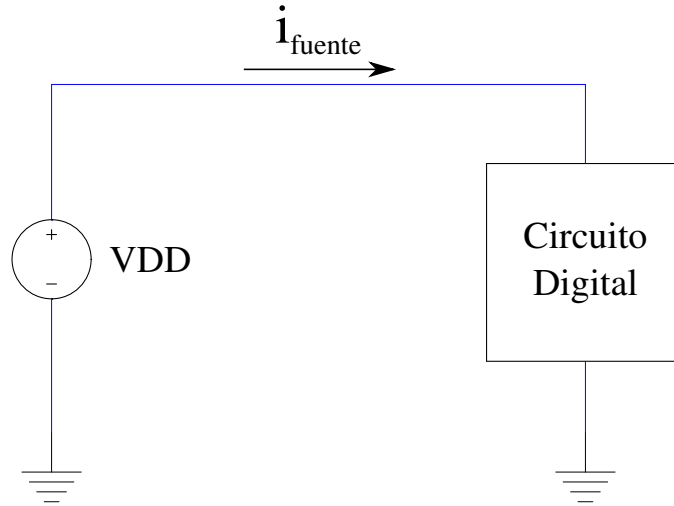


Figura 2.2: Estimación de Potencia Promedio Disipada

$$P_{av} = \frac{1}{T} \int_0^T p(t) dt = \frac{V_{DD}}{T} \int_0^T i_{fuente}(t) dt \quad (2.1)$$

El período de tiempo que tomaremos para medir la potencia promedio lo elegiremos de forma tal que la medición resulte representativa del funcionamiento del circuito.

### 2.2.3. Área

La importancia de minimizar el área de los circuitos radica principalmente en que esta impacta fuertemente en el costo de cada *die*(12), ya que el costo es una función que depende de la cuarta potencia del área del circuito(20). Además, los circuitos de menor área tienden a consumir menor energía.

### 2.2.4. Resumen

A continuación resumimos en la tabla 2.2 las métricas que utilizaremos para la comparación de las distintas arquitecturas de sumadores:





# Capítulo 3

## SUMADORES

---

### 3.1. Introducción

Tal como mencionamos en la sección 2.1 (pág. 3), nuestro objetivo es implementar un sumador binario de  $n$  bits, manteniendo la mejor relación de compromiso entre performance, potencia y área según crece  $n$ .

#### 3.1.1. Selección de la arquitectura

Se puede afirmar que los sumadores llamados (según la bibliografía en inglés) como *parallel prefix adders*<sup>1</sup> son los mejores con respecto al producto potencia-retardo<sup>2</sup>. Estos sumadores se clasifican dentro de un mismo tipo, porque reducen el problema de calcular las señales de acarreo como el **problema de cálculo de prefijo**<sup>3</sup>. A su vez, son implementaciones particulares de los sumadores conocidos como *carry look-ahead adders*, ya que todos se basan en el cálculo en paralelo de los acarreos.

#### *Sumadores de prefijo paralelo*

Brent-Kung(5), Sklansky(24), Kogge-Stone (14), Ladner-Fisher(15), Hans-Carlson(14) y Knowles(13) son implementaciones de este tipo de sumadores, que se diferencian cada uno por minimizar alguna relación de compromiso, en el espacio de diseño para el retardo, área y potencia(25) del circuito.

Si tenemos en cuenta el área utilizada por estos circuitos, no podemos asegurar que una de estas se clasifique globalmente como la mejor, ya que algunas implementaciones favorecen una métrica a costa de la otra. Citamos un estudio que presenta los siguientes resultados de la figuras 3.1 y 3.2 de un estudio comparativo (1) para tecnología CMOS 0.13  $\mu\text{m}$ .

#### Arquitecturas a implementar

De estas arquitecturas mencionadas, vamos a implementar un sumador rápido basado en la idea original de Sklansky(24) publicado en 1960. También vamos a implementar una arquitectura

---

<sup>1</sup>Nosotros los nombraremos como *sumadores de prefijo paralelo*.

<sup>2</sup>Cuando decimos retardo, nos referimos al retardo de propagación máximo de un circuito, nuestra métrica elegida para caracterizar la performance.

<sup>3</sup>En 3.2.4 definimos precisamente el problema.

que busca la mejor relación entre interconexiones y cantidad de compuertas utilizadas, a costa de un pequeño aumento en la cantidad de etapas, conocido como sumador de Brent-Kung(5). Además, implementaremos el sumador de ripple carry para utilizarlo de referencia comparativa.



Figura 3.1: Retardo respecto al tamaño de los operandos



Figura 3.2: Área respecto al tamaño de los operandos

Resumimos en la tabla 3.1 las características y diferencias entre los distintos sumadores(3). Incluimos al **ripple carry**, por ser la implementación más simple, y al **carry look-ahead** por ser el sumador que propone el cálculo en paralelo de los acarreos para disminuir logarítmicamente el tiempo de retardo.

## 3.2. Fundamentos teóricos de la suma

A los fines de poder implementar estos sumadores, desarrollaremos las ecuaciones que nos permitan llegar a la descripción del *hardware*.

| Arquitectura     | Retardo Máx.   | Área             |
|------------------|----------------|------------------|
| Ripple Carry     | $O(n)$         | $O(n)$           |
| Carry Look-Ahead | $O(\log(n))$   | $O(n \log(n))$   |
| Ladner-Fisher    | $O(\log_2(n))$ | $O(n \log(n))$   |
| Sklansky         | $O(\log_2(n))$ | $O(n \log^2(n))$ |
| Kogge-Stone      | $O(\log_2(n))$ |                  |
| Han-Carlson      | ...            | ...              |
| Brent-Kung       | $O(\log_2(n))$ | $O(n \log_2(n))$ |

Cuadro 3.1: Resumen de las funciones de retardo y área algunos sumadores

### 3.2.1. Semisumador y sumador completo

#### Semisumador

El **Semisumador** (Half-adder) recibe 2 bits de entradas  $a$  y  $b$  y produce un bit de suma  $s$  y un bit de acarreo  $c$ .

$$s = a \oplus b \quad (3.1a)$$

$$c = ab \quad (3.1b)$$

#### Sumador Completo

Luego definimos un Sumador Completo de un bit, o Full Adder:

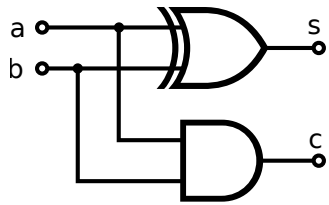
Entradas: Bits de operandos  $a$ ,  $b$  y carry-in  $c_{in}$  (o  $a_i$ ,  $b_i$ ,  $c_i$  para la etapa  $i$ )

Salidas: Suma  $s$  y carry-out  $c_{out}$  (o  $s_i$  y  $c_{i+1}$  para la etapa  $i$ )

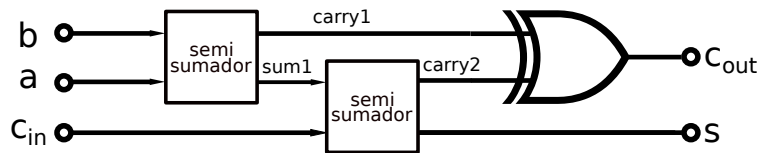
$$s = a \oplus b \oplus c_{in} \quad (3.2a)$$

$$c_{out} = ab + ac_{in} + bc_{in} \quad (3.2b)$$

Podemos construir un **sumador completo** (full-adder) combinando las ecuaciones del sumador y semisumador, como vemos en la figura 3.3b:



(a) Semisumador



(b) Sumador completo

Figura 3.3: Bit adders

## Ripple Carry Adder

Definimos el sumador Ripple Carry Adder (RCA), utilizando  $n$  sumadores completos para sumar 2 operandos de  $n$  bits. El sumador de  $n$  bits produce una salida de  $n$  bits y una salida de acarreo  $c_{out}$ .

Este sumador se implementa conectando como muestra la figura 3.4 el bloque `fullAdd` (Sumador Completo). El camino crítico de la señal se determina considerando el peor camino de propagación de la señal.



Figura 3.4: Ripple Carry Adder

El retardo del camino crítico de un sumador de  $n$  bits es:

$$T_{RCA} = (n - 1)T_m + T_{FA} \quad (3.3)$$

Siendo  $T_m$  el retardo del circuito de generación del acarreo de un sumador completo y  $T_{FA}$  el retardo de un sumador completo. Es decir, el retardo es proporcional al tamaño de los operandos.

### 3.2.2. Sumadores *carry lookahead*

La clave para sumar rápido es plantear el problema de la suma como el problema de generar las señales de acarreo en el menor tiempo posible; eso queda evidenciado al interpretar la ecuación 3.4. Por lo tanto, el objetivo será lograr un bloque generador de las señales de acarreo de baja latencia(19).

Ya que una vez que el acarreo en la posición  $i$  es conocido, se puede calcular la suma como:

$$s_i = a_i \oplus b_i \oplus c_i \quad (3.4)$$

Con respecto al acarreo, lo importante es si en una posición dada el acarreo se *genera* ó se *propaga*. Con las siguientes ecuaciones lógicas podemos definir esas señales:

$$g_i = a_i b_i$$

$$p_i = a_i \oplus b_i$$

Asumiendo que estas señales se han calculado y están disponibles, podemos calcular recursivamente el acarreo de la siguiente forma:

$$c_{i+1} = g_i + c_i p_i \quad (3.5)$$

Esto quiere decir que un acarreo entrará en la etapa  $i + 1$  si éste se genera en la etapa  $i$ , o si entra en la etapa  $i$  y se propaga.

### 3.2.3. Desenrollando la recurrencia del acarreo

Uno puede desenrollar esta fórmula recursiva del acarreo hasta lograr una función que dependa directamente de los operandos ( $a$  y  $b$ ) y del acarreo de entrada  $c_{in}$ :

$$\begin{aligned} c_i &= g_{i-1} + p_{i-1}c_{i-1} \\ &= g_{i-1} + p_{i-1}(g_{i-2} + p_{i-2}c_{i-2}) = g_{i-1} + p_{i-1}g_{i-2} + p_{i-1}p_{i-2}c_{i-2} \\ &= g_{i-1} + p_{i-1}g_{i-2} + p_{i-1}p_{i-2}g_{i-3} + p_{i-1}p_{i-2}p_{i-3}c_{i-3} \\ &= g_{i-1} + p_{i-1}g_{i-2} + p_{i-1}p_{i-2}g_{i-3} + p_{i-1}p_{i-2}p_{i-3}g_{i-4} + p_{i-1}p_{i-2}p_{i-3}p_{i-4}c_{i-4} \end{aligned}$$

El proceso se repite hasta que el último término contenga  $c_0 = c_{in}$ . Podemos computar todos los acarreo en un sumador de  $k$ -bit directamente con las señales auxiliares ( $g_i, p_i$ ) y  $c_{in}$ , utilizando compuertas lógicas AND-OR con un fan-in máximo de  $k + 1$ . Para  $k = 4$ , tenemos:

$$\begin{aligned} c_4 &= g_3 + p_3g_2 + p_3p_2g_1 + p_3p_2p_1g_0 + p_3p_2p_1p_0c_0 \\ c_3 &= g_2 + p_2g_1 + p_2p_1g_0 + p_2p_1p_0c_0 \\ c_2 &= g_1 + p_1g_0 + p_1p_0c_0 \\ c_1 &= g_0 + p_0c_0 \end{aligned} \tag{3.6}$$

Aquí,  $c_4$  y  $c_0$  son los  $c_{out}$  y  $c_{in}$  respectivamente de un sumador de 4-bits. Podemos usar un bloque de acarreo basado en estas ecuaciones, y usando compuertas AND de 2 entradas para  $g_i$  y compuertas XOR de 2 entradas para  $p_i$  y los bits de suma, construimos un sumador de 4-bits. Este sumador es conocido como *carry lookahead adder (CLA)*. Notar que como  $c_4$  no se usa para calcular la suma, no es necesario aplicar la ecuación 3.6 y lo podemos obtener usando una ecuación más simple, sin tener casi un deterioro en velocidad:

$$c_4 = g_3 + c_3p_3$$

La red de acarreo que resulta de estas ecuaciones la podemos ver en la figura 3.5.

Si observamos las ecuaciones 3.6, vemos que el retardo de esta red será el retardo  $T_{AND_n}$  de la mayor celda AND, mas el retardo  $T_{OR_n}$  de la operación OR de  $n$  entradas. Esto es un inconveniente, ya que según aumenta el fan-in también aumenta el retardo. El retardo de un sumador construido con esta red tendrá también el retardo  $T_p$  del cálculo de  $p$  mas el retardo de un sumador completo.

$$T_{CLA} = T_p + T_{AND_n} + T_{OR_n} + T_{FA} \tag{3.7}$$

Se pueden realizar por medio de árboles binarios una reducción a celdas con un fan-in de dos (por ejemplo), pero agregando una etapa por cada reducción, en ese caso el retardo en este circuito sería en función del  $\log_2 n$ .

### 3.2.4. Sumadores de Prefijo Paralelos (*Parallel Prefix Adders*)

En la sección anterior vimos como desarrollar ecuaciones que nos permiten obtener las señales de acarreo a partir de las señales auxiliares, para poder calcular la suma del bit  $n$ , sin esperar a que el acarreo del bit  $n - 1$  sea computado. Aunque esta solución tal cuál como la presentamos deja de ser aplicable según aumenta  $n$ , nos permite abordar **el problema del cálculo de los acarreo como un problema de prefijo paralelo**.



Figura 3.5: CLA 4-bits

### Problema de prefijo paralelo (*parallel prefix problem*)

El problema de prefijo paralelo es:

Dado:

Entradas:  $x_0, x_1, \dots, x_{k-1}$

Un operador + asociativo

Computar :  $x_0$

$$x_0 + x_1$$

$$x_0 + x_1 + x_2 +$$

$\vdots$

$$x_0 + x_1 + x_2 + \dots + x_{k-1}$$

### Cómputo del acarreo como un problema de prefijo paralelo

Pensemos la ecuación 3.6 de la siguiente forma, asumiendo que  $c_0 = c_{in}$  viene desde otro bloque:

$$g_{[i,i+3]} = g_{i+3} + g_{i+2}p_{i+3} + g_{i+1}p_{i+2}p_{i+3} + g_i p_{i+1}p_{i+2}p_{i+3}$$

$$p_{[i,i+3]} = p_i p_{i+1} p_{i+2} p_{i+3}$$

Podemos interpretar estas ecuaciones de la siguiente forma: las cuatro posiciones de bits propagan colectivamente un acarreo  $c_{in}$  si y solo si cada una de las posiciones propaga; y el bloque genera un acarreo si en la posición  $i + 3$  se genera uno, o se produce en la posición  $i + 2$  y es propagado por la posición  $i + 3$ , etc.

Con este procedimiento podemos llegar a expresar una generalización muy importante, para

bloques adyacentes que se superponen  $[i_1, j_i]$  y  $[i_0, j_0]$ , con  $i_0 \leq i_1 - 1 \leq j_0 < j_i$ :

$$\begin{aligned} g_{[i_0, j_1]} &= g_{[i_1, j_1]} + g_{[i_0, j_0]} p_{[i_1, j_1]} \\ p_{[i_0, i_1]} &= p_{[i_0, j_0]} p_{[i_1, j_1]} \end{aligned}$$

Aquí,  $g_{[i_0, j_1]}$  y  $p_{[i_0, i_1]}$  son las señales que producimos de 2 bloques adyacentes ( $B''$  y  $B'$  con sus señales asociadas  $(g'', p'')$  y  $(g', p')$ ) que para simplificar la notación nos permite reescribir la anterior ecuación como:

$$\begin{aligned} g &= g'' + g' p'' \\ p &= p' p'' \end{aligned}$$

Ahora entonces definimos un operador acarreo  $\circ$  para condensar estas operaciones:

$$(g, p) = (g'', p'') \circ (g', p') = (g'' + g' p', p' p'')$$

Este operador es un operador asociativo, y esto se puede demostrar utilizando la propiedad asociativa de los operadores OR y AND. Finalmente, ya tenemos un operador asociativo, y las entradas  $(g''', p'''), (g'', p''), (g', p'), \dots$  que nos permiten plantear el problema de la construcción de la red (o bloque) de acarreo, como un *problema de prefijo paralelo*:

Dados:

Entradas:  $(g_0, p_0), (g_1, p_1), \dots, (g_{k-1}, p_{k-1})$

Un operador  $\circ$  asociativo

Computar :

$$\begin{aligned} (G_0, P_0) &= (g_{[0,0]}, p_{[0,0]}) \\ (G_1, P_1) &= (g_{[0,0]}, p_{[0,0]}) \circ (g_{[0,1]}, p_{[0,1]}) \\ &\vdots \\ (G_{k-1}, P_{k-1}) &= (g_{[0,0]}, p_{[0,0]}) \circ (g_{[0,1]}, p_{[0,1]}) \circ \dots \circ (g_{[0,k-2]}, p_{[0,k-2]}) \circ (g_{[0,k-1]}, p_{[0,k-1]}) \end{aligned} \tag{3.8}$$

Retomando la ecuación 3.4 de la suma, y con estas ecuaciones que nos dan las señales propagadas o generadas del acarreo, podemos construir distintos sumadores, que varían en la red de cálculo del acarreo, particularmente en cómo se elija la asociación del operador *acarreo* (a veces también mencionado como *operador punto*). La implementación mas básica (y lenta) sería la de ir asociando en serie a este operador, como vemos en la figura 3.6. Todos los sumadores de prefijo paralelo se diferencian esencialmente en la forma de asociar.

### 3.2.5. Sumador de Brent-Kung

Para tener en cuenta el problema de la interconexión entre las compuertas de forma tal que estas sean mínimas y que el área de celdas y de conexión se minimicen, se propone el sumador de Brent-Kung(5). Este sumador es una versión que considera el problema de la interconexión entre las compuertas, de una forma que minimice el área, a costa de un aumento en el retardo. Esto se expresa en la función de retardo que es  $2 \log_2(n) - 2$ , a diferencia de los sumadores de Ladner-Fisher(15), Kugge-Stone(14) y Sklansky(24) que en  $\log_2(n)$  etapas calculan todas las señales de acarreo.

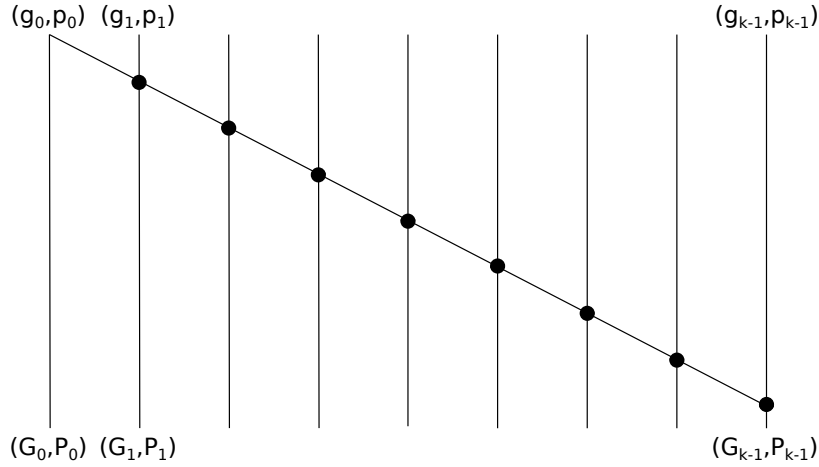


Figura 3.6: Red de prefijo en serie, una forma gráfica de ver la ecuaciones del cálculo prefijo en 3.8. Notar que cada línea representa dos bits. Los puntos negros representan al operador acarreo.

### Operador de Brent-Kung

El operador  $\circ$  se define<sup>1</sup> como:

$$(g, p) \circ (\hat{g}, \hat{p}) = (g \vee (p \wedge \hat{g}), p \wedge \hat{p}) \quad (3.9)$$

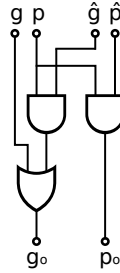


Figura 3.7: Operator Punto de Brent-Kung

El operador Punto de Brent-Kung es asociativo, es decir:

$$((a, b) \circ (c, d)) \circ (e, f) = (a, b) \circ ((c, d) \circ (e, f))$$

Y por lo tanto podemos ahorrarnos los paréntesis y escribimos:

$$(a, b) \circ (c, d) \circ (e, f) \circ \dots$$

### Circuito de Generación y Propagación de acarreo

Ahora necesitamos un circuito que con cada bit de entrada de los operandos  $a$  y  $b$  calcule la señal de acarreo y la de propagación:

$$g_i = a_i \wedge b_i, p_i = a_i \oplus b_i$$

Esas señales se generan en paralelo, dado dos números binarios  $a[n]$  and  $b[n]$  de longitud  $n$ .

<sup>1</sup>Para respetar la notación de la bibliografía original comenzamos a utilizar la notación lógica con  $\vee$ ,  $\wedge$  y  $\oplus$  como los operadores booleanos AND, OR y XOR respectivamente





Figura 3.8: Generación y Propagación del Acarreo

### Red de Prefijo Paralelo

Con la figura 3.10, detallamos ahora la red de prefijo paralelo con un fan-out máximo de dos, lo cuál diferencia a el sumador de Brent-Kung de los otros sumadores de prefijo paralelo. La red se realiza con 2 elementos: Los puntos negros son los operadores punto de Brent-Kung de la figura 3.7 y con buffers (los puntos blancos) que realizan una copia de la señal. Cada cable representa un par de bit  $g_i, p_i$  de la figura 3.11.

### Circuito completo

Con la red de prefijo paralelo lista, podemos armar el circuito propuesto en el paper de Brent-Kung(5). A los fines de la implementación en HDL, mostramos el circuito visto de una forma alternativa en la figura 3.11. Pero aprovechamos la oportunidad para generalizar un poco este resultado. Si retomamos la definición de la suma planteada en la ecuación 3.4:

$$s_i = a_i \oplus b_i \oplus c_i$$

y notamos que en la figura 3.11 se calcula  $a_i \oplus b_i$ , y que con los  $G_i$  y los  $p_{i-1}$  podemos construir la suma. Por lo tanto, no importa de qué forma se generen estas señales en la red de prefijo paralelo, podemos calcular el valor de  $s_i$ , como vemos de forma más genérica en la figura 3.9.

### 3.2.6. Sumador de Sklansky

Para realizar este sumador, debemos desarrollar la red de cálculo paralelo de los acarreos, a la forma propuesta por Sklansky. Esta forma se conoce como *divide and conquer*, y la evidenciamos con un ejemplo para sumandos de 16 bits en la figura 3.12. Los puntos negros representan el operador punto (definido anteriormente como el operador de Brent-Kung), notar que tiene menos cantidad de etapas de operaciones (en proporción de  $\log_2(n)$ ) por lo tanto es un sumador más rápido que el de Brent-Kung, pero hay nodos que tienen un fan-out de hasta  $\frac{n}{2}$ , lo cuál resulta en mayor capacidades parásitas, haciendo más lento el circuito en ese nodo.

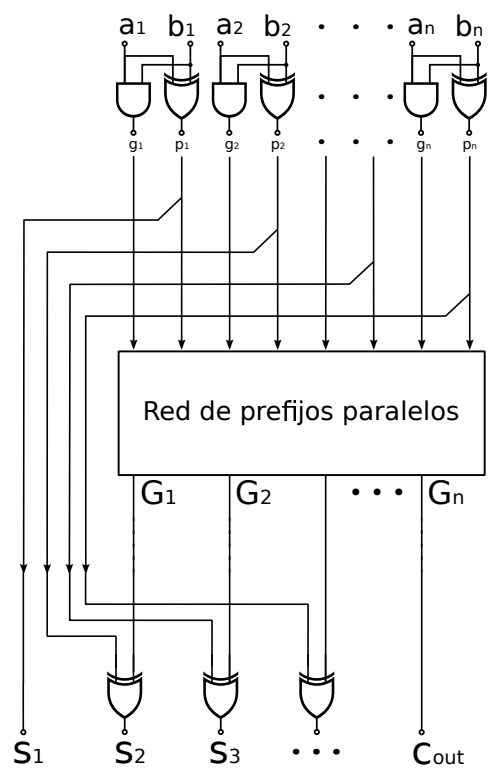


Figura 3.9: Sumador de prefijo paralelo

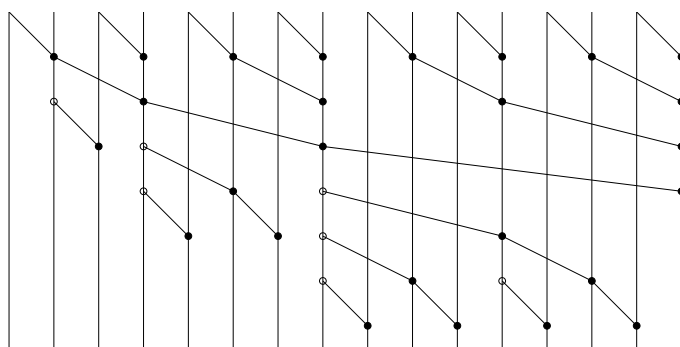


Figura 3.10: Red de prefijo paralelo para Brent-Kung (ejemplo de 16 bits)

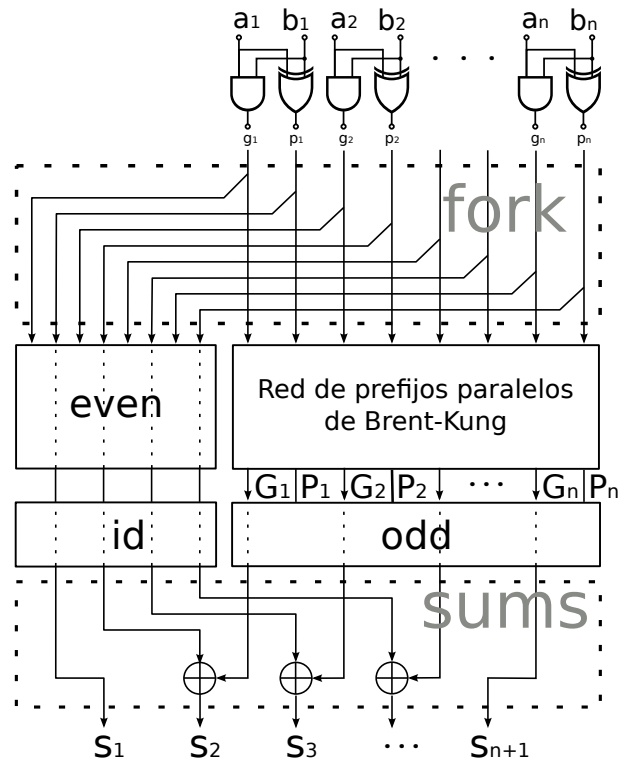


Figura 3.11: Sumador de Brent-Kung

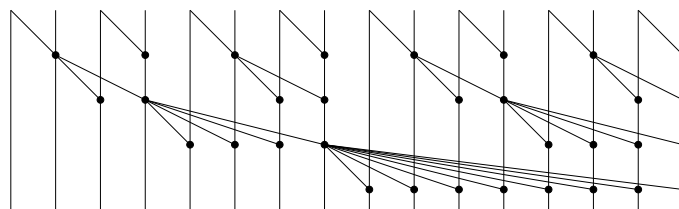


Figura 3.12: Red de prefijo paralelo para Sklansky (ejemplo de 16 bits)

---

## Capítulo 4

# IMPLEMENTACIÓN DE LOS CIRCUITOS EN LENGUAJE DE DESCRIPCIÓN DE *hardware*

---

### 4.1. Introducción

Utilizamos un lenguaje de descripción de *hardware* (HDL por su sigla en inglés) para implementar los distintos circuitos que evaluaremos, porque el problema planteado en el capítulo 2, requiere que podamos crear un sumador de  $n$  bits arbitrario, para lo cuál los HDL son la herramienta mas apropiada. Implementarlos por medio de esquemáticos llevaría mucho tiempo, por eso descartamos esa metodología. En cambio, cuando describimos un circuito con un HDL lo hacemos parametrizando el tamaño del mismo, y a la hora de simularlo o implementarlo físicamente, determinamos su tamaño y generamos automáticamente el circuito.

#### 4.1.1. Breve reseña de HDLs

VHDL y Verilog son los lenguajes más utilizados y conocidos para el diseño de circuitos integrados. VHDL nace como lenguaje de documentación del comportamiento de los circuitos integrados de aplicación específica (ASIC por su siglas en inglés). El departamento de defensa de Estados Unidos lo desarrolló para poder especificar a sus proveedores, cómo debía comportarse el sistema digital que les encargaba diseñar. Luego, surgió la idea de realizar una simulación lógica a partir de estos archivos VHDL. Lo siguiente fué el desarrollo de herramientas de síntesis lógica a partir de estos archivos, para generar una implementación física del circuito. Con Verilog sucedió algo muy parecido. Por esta historia en común, se puede decir que estos dos lenguajes tienen varias finalidades, siendo la implementación en *hardware* tan sólo una de ellas, es decir, uno puede describir circuitos que no son sintetizables. Por esa razón, y a pesar de ser los más utilizados y conocidos para describir circuitos digitales, no siempre son la mejor alternativa a elegir.

#### 4.1.2. Nuevos HDL

Podemos mencionar al menos 3 lenguajes de descripción de *hardware* que están siendo utilizados para el diseño de circuitos integrados, que nacieron con el objetivo de aprovechar las

---

ventajas de nuevos lenguajes de programación, bajo el paradigma de la programación funcional. Estos son, **Lava**(8) y **ClaSH**(2) basados en **Haskell**, y **Chisel**(18), basado en **Scala**. En este tipos de lenguajes, un circuito que no sea sintetizable es un error de sintáxis.

Otro lenguaje que queremos mencionar es **MyHDL**(9), un lenguaje basado en Python que brinda muchas ventajas de este lenguaje, que por estar basado en otro paradigma de programación, no lo agrupamos con los cuatro anteriores. Pero estos cinco lenguajes nos permiten:

- Usar un único lenguaje para describir (con distintos niveles de abstracción), simular, verificar e implementar el circuito.
- Los circuitos se describen en Haskell, Scala o Python (según corresponda), el HDL es simplemente un conjunto de módulos que permiten realizar nuevas tareas relacionadas al diseño de *hardware*, como puede ser crear un netlist VHDL, simulación simbólica, etc.
- Generar automáticamente una descripción en VHDL o Verilog, lo cuál nos permite utilizar herramientas de diseño físico que usan este tipo de lenguajes como entrada.
- Describir circuitos que construimos a partir de subcircuitos, además de la posibilidad de reutilizar fácilmente patrones de conexión.

### 4.1.3. ¿Por qué Lava?

Podemos elegir arbitrariamente cualquiera de estos lenguajes, ya que el circuito que logremos es independiente del lenguaje utilizado. Por lo tanto, para este proyecto en particular<sup>1</sup> se puede elegir el HDL basado en el conocimiento y experiencia de uso en Haskell, Python o Scala.

Para describir el circuito, elegimos Lava. Quien haya utilizado alguna vez un lenguaje de programación funcional, entenderá fácilmente cómo describir circuitos. Quien no conozca este paradigma de programación, podrá aprender a utilizar Lava por medio de su documentación(7) sin muchas dificultades, ya que el paradigma de programación se basa en definir a los programas como se definen las funciones matemáticas. En Lava los circuitos son descriptos como funciones que operan sobre listas, tuplas o sobre circuitos. Esto último se debe a que el lenguaje Haskell permite la definición de funciones de alto orden, es decir podemos definir funciones que su dominio e imagen son funciones.

Lava es simplemente un conjunto de módulos de Haskell, por lo tanto estamos unificando un conjunto de tareas del diseño digital utilizando un lenguaje de programación de propósito general. Las ventajas de este acercamiento al diseño son varias:

- Disponibilidad de todas las librerías existentes en Haskell para ampliar las posibilidades de nuestra herramienta.
- No se generan *bugs* típicos de implementar dos veces el mismo circuito en dos lenguajes de programación distintos: El primero en la implementación a nivel de sistema y el otro a nivel de *hardware*.
- Se pueden aplicar técnicas de programación propias del lenguaje como *testing* o *model checking* con el circuito.

---

<sup>1</sup>Es un circuito puramente combinacional

- Permite manejar otros programas externos, por ejemplo lanzamos **minisat**(11) para verificar formalmente nuestro circuito.

Con la implementación del circuito utilizando este HDL, podemos generar un **netlist** VHDL, hacer simulación digital, verificación formal de propiedades, y la ventaja de

## 4.2. Implementación en lenguaje de descripción de hardware

Ya hemos presentado una descripción esquemática del sumador binario de  $n$  bits en la figura 3.4 y en la 3.11. El objetivo es implementar estos circuito en Lava parametrizando el tamaño  $n$  de los sumandos.

### 4.2.1. Implementación del sumador de ripple carry en Lava

Siguiendo la figura 3.3a, definiremos el semisumador:

```
halfAdd (a, b) = (s, c)
  where
    s = xor2 (a, b)
    c = and2 (a, b)
```

Para escribir el circuito del sumador completo usamos la figura 3.3b, nombrando las señales internas y escribiendo los subcomponentes de la siguiente forma:

```
fullAdd (cin, (a, b)) = (s, cout)
  where
    (sum1, carry1) = halfAdd (a, b)
    (s, carry2) = halfAdd (cin, sum1)
    cout = xor2 (carry2, carry1)
```

Por último escribimos la descripción del sumador binario (RCA) de la figura 3.4 de la siguiente forma:

```
rcAdder (carryIn, ([], [])) = ([], carryIn)
rcAdder (carryIn, (a:as, b:bs)) = (sum:sums, carryOut)
  where
    (sum, carry) = fullAdd (carryIn, (a, b))
    (sums, carryOut) = rcAdder (carry, (as, bs))
```

### 4.2.2. Patrones de conexión

**Patrones de conexión estandars.** Los patrones de conexión son funciones de alto orden<sup>1</sup> que pueden ser utilizadas para construir circuitos, les llamamos circuitos de alto orden o generadores de circuitos.

<sup>1</sup>Las funciones de alto orden (*high order functions*) son funciones que toman otras funciones como argumento y devuelven otra función como resultado.

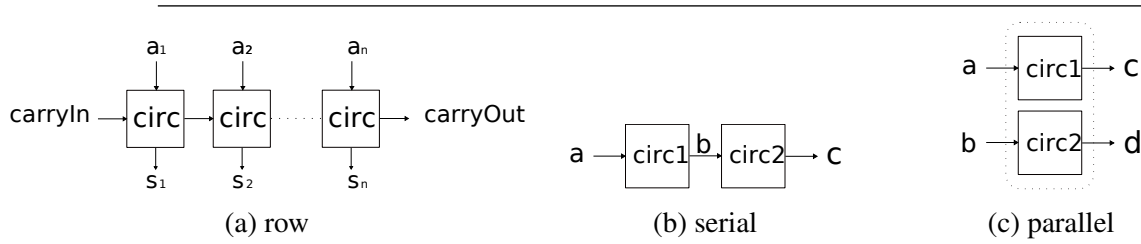


Figura 4.1: Diferentes patrones de conexión de circuitos

Observando la definición de `rcAdder` y su topología, podemos generalizar esa estructura de conexión reemplazando el circuito por un parámetro, que en la definición<sup>1</sup> del circuito será una entrada mas. A ese parámetro lo nombramos `circ`:

```
row circ (carryIn, ([])) = ([], carryIn)
row circ (carryIn, a:as) = (b:bs, carryOut)
  where
    (b, carry)      = circ (carryIn, a)
    (bs, carryOut) = row circ (carry, as)
```

La función `row` toma un circuito `circ`, un conjunto de entradas, y las conecta como se muestra en la figura 4.1a. Ahora, usando el generador de circuito `row`, el sumador binario lo podemos describir mas simplemente asi:

```
rcAdder' (carry, inps) = row fullAdd (carry, inps)
```

Inclusive para simplificar mas, podemos currificar<sup>2</sup> la definición:

```
rcAdder'' = row fullAdd
```

Definir `rcAdder'` y `rcAdder''` de esa forma es bastante conveniente ya que podemos pensar en término de *generadores de circuitos* en vez de recursión sobre listas.

Ya que hemos visto la ventaja de definir los patrones de conexión, presentamos dos generadores de circuitos que vamos a usar mas tarde:

```
par cir1 cir2 (a, b) = (c, d)
  where
    c = cir1 a
    d = cir2 b
```

Es muy útil definir una versión mas gráfica de la función `par`, si definimos el operador infijo `-|-`:

```
cir1 -|- cir2 = par cir1 cir2
```

Y por último la conexión serie y su versión con el operador infijo:

```
serial cir1 cir2 a = c
  where
    b = cir1 a
    c = cir2 b
```

```
cir1 ->- cir2 = serial cir1 cir2
```

<sup>1</sup>Esto es posible dado que Haskell implementa *pattern matching*.

<sup>2</sup>Curricular, es una referencia al lógico Haskell Curry, y hace referencia a la técnica que consiste en transformar una función que utiliza una n-tupla como argumento, en una función que utiliza un único argumento.



### 4.2.3. Sumador de Brent-Kung

#### Operador de Brent-Kung

Comencemos a describir el sumador de Brent-Kung. En Lava, podemos describir el circuito que implementa la función 3.9 siguiendo la figura 3.7:

```
dotOp ((g1, p1) , (g, p)) = (go, po)
  where
    go = or2 (g, and2 (p, g1))
    po = and2 (p, p1)
```

#### Generación y Propagación del Acarreo

En Lava escribimos así lo que captamos de la figura 3.8:

```
gAndPs ([], []) = []
gAndPs (a:as, b:bs) = (g,p):gps
  where
    (g, p) = (and2 (a, b), xor2 (a, b))
    gps    = gAndPs (as, bs)
```

Para ver una explicación con mayor nivel de detalles de cómo construir el circuito, ver el manual de Lava (7) en conjunto con el paper aquí citado (16)

#### Red de Prefijos Paralelos para el sumador de Brent-Kung

Ahora para describir esta red que usamos en la figura 3.11 y mostramos un ejemplo de una red para 16 bits en la figura 3.10, nos basamos en un patrón recursivo que propone Sheeran (23) al que le llama *wrap*. En cada paso de la iteración tomamos el resultado anterior (el circuito *P*) y le aplicamos el operador punto antes y después de forma intercalada como se puede ver en la figura 4.2a. Esto nos lleva a construir redes como la de la figura 3.10.



Figura 4.2: Construcción de la red de prefijos paralelos de Brent-Kung.

La figura 4.2b representa las dos primeras iteraciones del circuito *ppNet*, en el cual la caja de líneas punteada es el caso base de la descripción, los puntos negros son la función *dotOp*. Lo que producimos con esta función recursiva son redes como la de la figura 3.10.

---

A continuación, describimos el circuito `ppNet`, pero antes escribimos las funciones auxiliares `dop`, `unzipl`, `zipl`, `comb`, `posComb`, `miti` y `wrap`, que nos servirán para escribir `ppNet`:

```
dop [a, b] = [a, dotOp(a, b)]
--
unzipl []      = ([], [])
unzipl [a]     = ([a], [])
unzipl (a:b:abss) = (a:as, b:bs)
  where
    (as, bs) = unzipl abss
--
zipl ([], [])      = []
zipl ([a], [])     = []
zipl (a:as, b:bs) = a:b:zipl(as, bs)
--
-- La forma en que hemos escrito las funciones zipl y unzipl
-- son la clave para lograr una descripción de un sumador
-- binario que acepte cualquier cantidad de entradas
--
comb []      = []
comb [a]     = []
comb (a:as) = dop [a, head as] ++ comb (tail as)
--
posComb (a:as) = a: (comb (init as)) ++ [last as]
--
miti p = unzipl ->- (id -|- p) ->- zipl
--
wrap p = comb ->- miti p ->- posComb
```

Luego finalmente, podemos describir `ppNet`:

```
ppNet [a]      = []
ppNet [a, b] = dop [a, b]
ppNet as      = wrap ppNet as
```

## Circuito top level

Ahora que ya tenemos construidas todas las partes del sumador, sólo resta juntarlas siguiendo el esquemático de la figura 3.11. Prestar atención a que el circuito `fork` realiza una copia de las señales, el `even` deja pasar los bits pares, `odd` los impares, `id` es la función identidad y `sums` mapea los bits de entrada con la función booleana XOR, salvo el primer y último bit:

```
fork as = (as, as)
--
even as = cs
  where
    (bs, cs) = unzip as
--
odd as = bs
  where
    (bs, cs) = unzip as
```

---

```

-- Unas definiciones mas cortas:
dropP = id -|- odds
dropG = even -|- ppNet
--
sums (a:as,bs) = (a:lastXor (as,init bs),cOut)
  where
    cOut = last bs
--
lastXor (as, bs) = map xor2 cs
  where
    cs = zipp (as, bs)
--
zipp ([],[]) = []

zipp (a:as, b:bs) = c:cs -- da lo mismo que poner (c:cs)
  where
    c = (a, b)
    cs = zipp (as, bs)

```

Y el circuito completo es:

```
fastAdd = gAndPs ->- fork ->- dropG ->- dropP ->- sums
```

#### 4.2.4. Sumador de Sklansky

En el apéndice C brindamos la descripción en Lava del sumador.

#### 4.2.5. Simulación

En Lava podemos simular el circuito usando la operación `simulate`, el circuito y el estado de las entradas, por ejemplo:

```
simulate fastAdd ([high,low],[low,high])
```

devuelve: `([high,high],low)`. También podemos simular secuencia de entradas con la operación `simulateSeq`:

```
simulateSeq halfAdd [(low,low),(high,low),(low,high)]
```

que devuelve `[(low,low),(high,low),(high,low)]`

#### Simulaciones con números enteros en base diez

Lava nos permite una interfase con números enteros, por si nos interesa simular utilizando esta representación numérica en vez de la binaria. Esto lo logramos si definimos una función como la siguiente, que toma dos enteros y convierte el segundo en un número binario de la cantidad de bits que indica el primero:

```

int2bin 0 num = []

int2bin n num = (bit:bits)

```

---

```
where
  (bit, num_) = numBreak num
  bits       = int2bin (n-1) num_
```

## Método de validación del hardware

Para este diseño en particular, no utilizaremos la simulación como una forma de validar el correcto funcionamiento del circuito, por eso no avanzaremos en las distintas alternativas de simulación que nos permite el sistema, como puede ser la creación de un archivo VCD<sup>1</sup> a partir de vectores de entrada<sup>2</sup>.

Justificamos descartar la simulación como método de validación por la simple razón de que sólo simulando todos los posibles estados de las entradas se garantiza el correcto diseño del circuito. Por ejemplo, para un sumador de 64 bits, es necesario simular  $2^{128}$  estados.

Para este tipo de sistemas es aplicable la verificación formal automática, que desarrollaremos en el capítulo 5.

### 4.2.6. Síntesis del *netlist* VHDL

Para continuar en nuestro flujo de diseño, precisamos generar el circuito en un lenguaje que nuestra herramienta de *Place and Route* pueda manejar. Para eso Lava nos permite crear un netlist VHDL siguiendo dos pasos, el primero definiendo los nombres de los puertos y el bloque a ser creado:

```
fastAdder n = writeVhdlInputOutputNoClk
  "BrentKungFastAdder" fastAdd
  (varList n "a", varList n "b")
  (varList n "sum", var "cout")
```

Y el segundo paso para crear el netlist, debemos especificar el valor real de sumador, por lo tanto valuamos el circuito con el número de bits del sumador y conseguiremos el archivo `BrentKungFastAdder.vhl` que mostramos en el apéndice A:

```
Main> fastAdder 16
Writing to file "BrentKungFastAdder.vhd" ... Done..
```

Si por alguna razón este netlist lo utilizáramos con una otra herramienta de síntesis, deberemos especificar que no modifique los cables para preservar la estructura de esta red.

---

<sup>1</sup>VCD: Value Change Dump es un formato basado en ASCII para logear señales, que es utilizado por herramientas de simulación lógica. Para visualizarlo podemos utilizar el software GTKWave, de licencia libre.

<sup>2</sup>Podemos usar una librería de Haskell llamada *casualmente* `vcd`, que nos permite escribir y leer archivos con este formato

## Capítulo 5

# VERIFICACIÓN FORMAL

---

Como aclaramos en el capítulo 3, el correcto funcionamiento del circuito se garantiza por medio de la verificación formal de las propiedades de la suma.

Nuestro flujo para esta etapa tiene que ver con la verificación de propiedades que se denominan *safety properties*. Estas son propiedades que se mantienen como verdaderas siempre (o lo que es equivalente, nunca son falsas). En Lava escribimos estas propiedades de la misma forma en que escribimos los circuitos, inclusive utilizando otros circuitos que nos sirvan para expresar una condición. Esto se verá con mas claridad cuando avancemos con la verificación. Entonces, la pregunta que estamos haciendo para verificar cualquier propiedad descrita de esta forma es: ¿Este circuito de verificación siempre tiene como salida el estado `True` sin importar cuales son las entradas? Para responder esta pregunta, en Lava usamos la operación `verify`.

Este proceso funciona así: Tal como podemos generar un netlist VHDL (o la simulación) a partir de la descripción del circuito, también podemos generar una fórmula lógica que representa al circuito. Esta fórmula lógica se la damos a un probador de teorema externo que nos probará (o desaprobará) la validez de la fórmula. El probador externo que usaremos es MiniSAT(11)<sup>1</sup>.

### 5.1. Modelo de referencia

A los fines de la verificación, usaremos un sumador de referencia `adder` bien simple, en el cual podamos probar todas las propiedades de la suma, para luego hacer un chequeo de equivalencia lógica (LEC por sus siglas en inglés) entre el sumador de referencia y el sumador que queremos implementar. Esto es conveniente porque es una gran ventaja (desde el punto de vista de tiempo de cálculo) hacer todas las pruebas sobre circuitos mas simples (pequeños), para luego realizar una sola comprobación de equivalencia lógica entre este circuito simple y el circuito diseñado, garantizando así que si todas las propiedades se cumplen en uno, también se cumplen en el otro.

---

<sup>1</sup>Minisat es un programa que resuelve problemas conocidos como *Boolean satisfiability problem (SAT)*, o directamente *SAT solver*.

---

## 5.2. Verificación de las Propiedades

### 5.2.1. Propiedades de la suma

La suma tiene las siguientes propiedades:

- Asociativa
- Conmutativa
- Existencia del elemento neutro cero.

### 5.2.2. Descripción de las propiedades en el RCA

Debido a que nuestro sumador de Brent-Kung asume que el acarreo de entrada es cero, debemos modificar nuestro sumador de referencia (un Ripple Carry Adder) para que desprecie el acarreo de entrada. Por lo tanto describimos nuevamente una versión del RCA de la siguiente forma:

```
adder2 ([], []) = []
adder2 (a:as, b:bs) = sum:sums
  where
    (sum, carry)      = halfAdd (a, b)
    (sums, carryOut) = adder (carry, (as, bs))
```

#### Propiedad Conmutativa

Ahora declaramos la propiedad conmutativa de la suma de la siguiente forma:

```
prop_AdderCommutative (as, bs) = ok
  where
    out1 = adder2 (as, bs)
    out2 = adder2 (bs, as)
    ok    = out1 <==> out2
```

Notar que el operador <==> es la versión infija de una función que mapea dos listas a la compuerta `xnor2`, la cual es la operación de equivalencia lógica. Como es muy difícil verificar automáticamente para cualquier tamaño, definimos una nueva propiedad que incluye el tamaño del circuito a ser verificado:

```
prop_AdderCommutative_ForSize n =
  forAll (list n) $ \as ->
    forAll (list n) $ \bs ->
      prop_AdderCommutative (as, bs)
```

Luego hacemos la verificación corriendo Minisat desde Lava, dando el tamaño del sumador:

```
minisat (prop_AdderCommutative_ForSize 32)
```

Si nuestro circuito está correctamente diseñado, tenemos:

---

```
Minisat: ... (t=0.00system) Valid.
```

De otro modo, podemos tener uno de estos resultados:

```
Minisat: ... (t=0.00system) Falsifiable.
Minisat: ... (t=0.00system) Inderterminate.
```

## Propiedad Asociativa

La propiedad Asociativa la declaramos como:

```
prop_AdderAssociative (as, bs, cs) = ok
  where
    out1 = adder2 (adder2 (as, bs), cs)
    out2 = adder2 (as, adder2 (bs, cs))
    ok    = out1 <==> out2
```

## Existencia del Elemento Neutro

Para verificar que el cero es el elemento neutro de la adición, necesitamos escribir un poco mas de lógica al circuito para transformar uno de los operandos a cero:

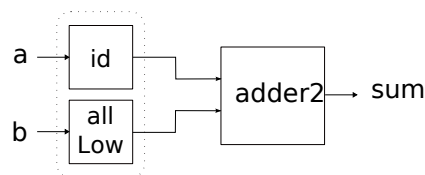


Figura 5.1: Circuito que nos sirve para describir la suma del elemento neutro

```
alwaysLow :: [Signal Bool] -> [Signal Bool]
alwaysLow (as) = [low | n <- [1..n]]
  where
    n = length as
```

```
addZero = (id -||- alwaysLow) ->- adder2
-- id es la funcion identidad
```

Y la verificación de esta propiedad en el circuito:

```
prop_AdderZero (as,bs) = ok
  where
    out = addZero (as, bs)
    ok   = out <==> as
```

## 5.2.3. Equivalencia lógica entre el modelo de referencia y los sumadores de Brent-Kung y Sklansky

Finalmente, hacemos la equivalencia lógica entre los dos circuitos: `fastAdd` (el BKA) y `adder2` (el RCA). Eso se declara en Lava de la siguiente forma:

---

```
prop_Equivalent adder2 fastadd a = ok
  where
    out1 = adder2    a
    out2 = fastadd a
    ok   = out1 <==> out2
```

**Y lanzamos el minisat desde Lava:**

```
Minisat: ... (t=0.00system) Valid.
```



# **Parte II**

## **Diseño Físico**



# Capítulo 6

## Flujo de Diseño Físico

---

### 6.1. Introducción

En este punto convertimos la representación de un circuito (con sus componentes e interconexiones) a una representación en formas geométricas, conocida como *layout*. Dicho en otras palabras, explicaremos (y realizaremos) el proceso que logra transformar una descripción de funciones lógicas a una representación de formas geométricas del circuito integrado, que luego de ser fabricado con las capas correspondientes, nos aseguran que obtendremos los transistores ubicados e interconectados dentro de un chip de silicio, de forma tal que implemente nuestro sistema digital.

El proceso que explicaremos en términos generales, y que podemos ver en contexto en la figura 6.1, se realiza iterativamente hasta lograr que el circuito cumpla las especificaciones con el menor costo en potencia disipada y área ocupada.

#### 6.1.1. Etapas del diseño físico

Generalmente en un flujo de este tipo, partimos desde una descripción estructural del circuito. Esta descripción, comúnmente llamada *netlist*, contiene información sobre qué bloques están presentes, y cómo estos están interconectados.

**Particionado** Según el tamaño del circuito, será necesario definir particiones del mismo, dividiendo el circuito en dos o mas particiones con fines de acotar la magnitud o dificultad inicial del circuito original, en partes más pequeñas de menor dificultad, si las particiones se realizan correcta e inteligentemente.

**Plano general** Luego es necesario definir un plano general del circuito (mencionado como *floorplan* en la bibliografía en inglés), que impondrá condiciones físicas mínimas como el área utilizada y la disposición física de las entradas y salidas.

**Ubicación** A continuación, ubicamos en este plano todos los componentes del circuito (conocido como *placement* en la bibliografía en inglés), en una disposición tentativa que nos permita evaluar rápidamente la factibilidad del circuito con las condiciones impuestas por el *floorplan*, por ejemplo si todos los componentes y el conexionado caben dentro del *floorplan*. Dependiendo de las herramientas que utilicemos, también se puede tener una estimación sobre la velocidad de las señales.

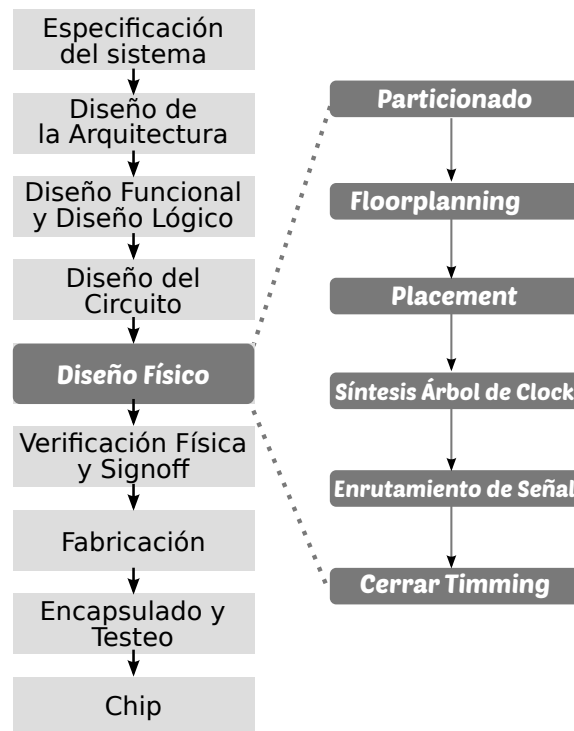


Figura 6.1: Flujo de diseño Físico

**Síntesis del árbol de reloj** Una vez que todos los elementos estén en el plano, si el circuito es secuencial, será necesario realizar una distribución de la señal del reloj para que llegue a todos los registros, de la forma más pareja (en tiempo) posible dentro de un margen de tolerancia determinado. Para ello se agregan *buffers* donde sea necesario. Este proceso se conoce como [Clock Tree Synthesis \(CTS\)](#) en la bibliografía en inglés.

**Conexionado** Por último, se realiza el conexionado de todos los puertos de cada componente, utilizando las capas de metal disponible en la tecnología que se esté utilizando, un ejemplo de este conexionado se puede ver en la figura 6.2. Este proceso se conoce como *routing* en la bibliografía en inglés.

En este punto, se puede realizar la mejor estimación sobre las capacidades y resistores parásitos que representan la interconexión de todo el circuito. Se encuentran los caminos críticos y se realizan las modificaciones necesarias para que el circuito cumpla con la especificaciones de retardo de propagación máximo. Siempre en cada etapa de este proceso se puede iterar para mejorar el resultado, pero si aún así no logramos la mejora necesaria, debemos volver a iterar sobre una etapa anterior y continuar este flujo, secuencialmente.

El procesos de ubicación de los componentes e interconexionado que acabamos de describir, es muy común que se mencione como [PnR](#), por sus siglas en inglés.



Figura 6.2: Representación en tres dimensiones de una celda estándar con 3 capas de metales en color arena, y una capa de silicio policristalino en color ladrillo. Azul y rojo son dopado  $N^+$  y  $P^+$  respectivamente

## 6.2. Relevamiento, comparación y selección de las herramientas disponibles

Para realizar las tareas que describimos en la sección 6.1.1, será necesario buscar una o varias herramientas de software que se ajusten a los requerimientos del diseño y la tecnología de fabricación<sup>1</sup> del circuito integrado.

### Características esperadas de las herramientas

- Desarrollo activo y existencia de una comunidad de usuarios/as y desarrolladores/as que brinden soporte

<sup>1</sup>Se utilizará una tecnología definida por Mead y Conway(17), conocida como **SCMOS** (Scalable CMOS). Esto es un conjunto de capas lógicas junto a sus reglas de diseño, que proveen un proceso casi independiente de la tecnología y dimensión, que sirve para muchos procesos CMOS disponibles a través de MOSIS.

- 
- Mayor cantidad de herramientas integradas
  - Flexibilidad para importar y exportar datos.
  - Disponibilidad de un Kit de diseño para el proceso de la tecnología seleccionada, conocido como [Process Design Kit \(PDK\)](#).

### 6.2.1. Relevamiento

Luego de una inspección de esas características, las herramientas candidatas que cumplen con estas características son:

**Open Circuit Design** Proyecto de software libre que reúne en un único sitio varias herramientas independientes, mencionamos sólo algunas: **Magic**: Layout, [Design Rule Check \(DRC\)](#) y extracción de parásitos; **Xcircuit**: Entrada de circuitos esquemáticos; **netgen**: [Layout Vs. Schematic \(LVS\)](#); **IRSIM**: simulador digital a nivel de transistor como llaves ideales, con modelo de retardo simplificado; **vesta**: herramienta para hacer [Static Timing Analysis \(STA\)](#); **Qflow**: entorno para realizar la síntesis digital con celdas estándar, utiliza Yosys(27); **graywolf**: programa que realiza el *placement*; **Qrouter**: programa que realiza el conexionado.

**Electric VLSI Design System(10)** Es un sistema de automatización de diseño electrónico. Es un entorno integrado muy flexible que permite la descripción del circuito de varias formas (circuitos esquemáticos, *netlist* VHDL y *layout*). Cuenta también con herramientas para hacer [DRC](#), [LVS](#) y [PnR](#), simulación digital, visualización de formas de ondas, y un generador de *pad frame*<sup>1</sup>, entre otras herramientas.

**Alliance VLSI CAD System(26)** Alliance es un conjunto de herramientas libres, y celdas estándar para el diseño de VLSI. Incluye un compilador vhdL y un simulador, herramientas de síntesis de lógica, y herramientas de [PnR](#) automáticas. Brinda un conjunto completo de celdas estándar CMOS escalables.

Es importante mencionar que existen mas herramientas disponibles (y muy útiles), pero al momento de realización de este trabajo, no forman parte de un flujo de diseño que las integre y por ello no son mencionadas aquí.

### 6.2.2. Comparación

En la tabla 6.2.2 resaltamos las ventajas y desventajas de cada herramienta, que nos permitirá hacer una selección en función de las necesidades del proyecto.

---

<sup>1</sup>El *pad frame* es un conjunto de celdas que se ubican en el marco del *die*, para conectar las señales del circuito con el exterior del chip.

|                            | Ventajas   | Desventajas  |
|----------------------------|--|--|
| <b>Electric</b>            | Fácil instalación, acepta Python y Java como lenguajes para automatizar el diseño o implementar nuevos algoritmos de PnR. Todas las herramientas están integradas. Soporta muchos formatos de entrada y salida, que nos permite utilizar otras herramientas. | No tiene herramienta para STA. No incluye un compilador lógico, sólo acepta <i>netlist</i> VHDL para hacer PnR.                |
| <b>Open Circuit Design</b> | Para realizar STA utiliza el estándar abierto Liberty. Extracción de parásitos muy precisa. Permite integración con otras herramientas fácilmente.   | Muchos programas para instalar por separado. Díficil de instalar en otros sistemas operativos no libres.                       |
| <b>Alliance</b>            | Incluye varias opciones de celdas estándar convenientemente integradas en la herramienta. Tiene todas las herramientas necesarias para un flujo físico completo.   | Las herramientas para STA y conexión no tienen una licencia libre. No facilita la integración con otras herramientas externas. |

### 6.2.3. Selección

La herramienta que seleccionamos es **Electric**, ya que nos brinda una serie de ventajas comparativas, teniendo en cuenta que nuestro circuito es puramente combinacional y no demanda gran esfuerzo de PnR a la herramienta. Podemos resumir :

- Fácil instalación
- Curva de aprendizaje suave
- Cuenta con todas las herramientas necesarias integradas

El hecho de que no cuente con un sintetizador lógico, como señalamos en la tabla 6.2.2, no tiene importancia para esta selección, ya que uno de los resultados del diseño digital del capítulo 3 es un *netlist* VHDL. Por la naturaleza de la solución propuesta, no deseamos que este resultado sea modificado por alguna optimización lógica, ya que rompería la interconexión original de nuestro circuito. Si quisiéramos comparar nuestra implementación del circuito con la implementación automática de la operación suma, entonces tendríamos que pasar a una de las otras herramientas. Pero eso sería un trabajo de comparación de un diseño *custom* con uno automático, que no era el objetivo de este proyecto.

## 6.3. Selección del proceso de fabricación

En este punto, es importante mencionar un aspecto de la industria de los semiconductores. En los orígenes, la industria de semiconductores estaba verticalmente integrada. Esto significaba que la misma empresa que diseñaba el producto, también diseñaba las herramientas de software

y fabricaba el chip. Pero hace poco mas de 20 años, surge la separación del proceso de diseño y fabricación. Hoy en día existen empresas que se dedican solamente a desarrollar el producto, otras que se dedican únicamente a desarrollar herramientas de software para el diseño, otras que solamente se dedican a fabricar los diseños de otras empresas, y también persisten las empresas que realizan todo el proceso (conocidas como **Integrated Device Manufacturers (IDMs)**), abriendo las puertas a otras empresas de diseño sin fábrica (conocidas como *fabless*), para evitar la capacidad ociosa instalada y disminuir sus costos.

### 6.3.1. Obleas multiproyectos

Dentro de este esquema, existe una empresa (MOSIS) que se dedica a recolectar proyectos de diseño que están en etapa de prototipo o de bajo volumen, creando obleas multiproyecto que se envían a fabricar, dividiendo los costos por la cantidad de proyectos que incluye. De esta forma, se logra acceder a la fabricación de circuitos integrados a muy bajo costo. Tiene sus limitaciones en cuanto a tecnologías de fabricación disponibles, cantidades, y tiempo de entrega largos, pero permite que proyectos educativos, de investigación o de baja escala sean económicamente factibles. Es importante mencionar que MOSIS cuenta con un programa especial para las universidades, que permite acceder a ciertos nodos<sup>1</sup> a muy bajo costo.

Por ello, nuestras opciones serán alguna de las que MOSIS ofrece. En la tabla 6.1 vemos una lista que está en constante cambio y actualización, se brinda aquí de modo ilustrativo. Para una lista actualizada visitar <https://www.mosis.com/products/fab-processes>.

| Fábrica               | Proceso CMOS     |
|-----------------------|------------------|
| TSMC                  | 28 nm - 180 nm   |
| Globalfoundries       | 14 nm - 180 nm   |
| IBM                   | 32 nm - 250nm    |
| ON Semi               | 0.35 um - 0.7 um |
| Austria Micro Systems | 180 nm - 0.35 um |

Cuadro 6.1: Procesos disponibles por medio de MOSIS

De todas estas, elegimos TSMC 180 nm por dos razones: la primera es que cuanto mayor es la dimensión de la tecnología, más simples son las herramientas de software necesarias y más bajo es el costo de fabricación. La segunda, es que con esta tecnología se pueden realizar sistemas de gran complejidad y alta performance<sup>2</sup>

Para dar cuenta de las capacidades de esta tecnología, vemos en la tabla 6.2 un conjunto de microprocesadores que la utilizaron cuando ésta era la más avanzada en su tiempo (desde el año 1999 hasta 2001) e inclusive después. Pero el verdadero sustento de que esta tecnología es actual, es que al día de hoy se continúan desarrollando varias aplicaciones, siendo una mejor opción que nodos mas nuevos, por razones económicas. Con el desarrollo de nuevas técnicas

<sup>1</sup>Nodo es una forma alternativa de llamar al proceso tecnológico de fabricación que toma como segundo nombre el largo mínimo de canal de un transistor MOS; por ejemplo: nodo de 180 nm se refiere al proceso con el cuál se puede fabricar un transistor con un mínimo de 180 nm de ancho de canal.

<sup>2</sup>Claro que cuanto más nueva es la tecnología, los circuitos digitales son más rápidos y disipan menor potencia dinámica. Pero también es cierto que mayores son los tiempos para diseñar, principalmente porque con cada nuevo nodo aparecen nuevos efectos físicos que deben ser manejados, dificultando las tareas.



para la disminución de consumo de energía<sup>1</sup>, la gran colección de *IP*<sup>2</sup> analógico<sup>3</sup> y digital que cada fábrica ofrece, las ventajas de necesitar menor poder de cálculo que para los nodos actuales (22 nm), mucha experiencia acumulada por parte de los diseñadores, se consigue un menor TTM<sup>4</sup> con menores costos.

| Procesador                              | Año de lanzamiento |
|---|--------------------|
| Intel Coppermine E                      | 1999               |
| AMD Athlon Thunderbird                  | 2000               |
| Intel Celeron (Willamette)              | 2002               |
| Motorola PowerPC 7445 y 7455 (Apollo 6) | 2002               |

Cuadro 6.2: Procesadores fabricados en CMOS 180nm

MOSIS especifica los procesos disponibles que soportan las reglas escalables en su documento *Design Rules. MOSIS Scalable CMOS (SCMOS), Revision 8.00.*, en el cuál encontramos que para 180 nm sólo podemos elegir a la fábrica TSMC.

Además, podemos optar entre las reglas **SCN6M\_SUBM** y las **SCN6M\_DEEP**. Decidimos utilizar la segunda, ya que tiene un valor de  $\lambda$  menor, lo cual significa un tamaño de transistor resultado más óptimo.

El proceso nos ofrece 6 capas de metal (aluminio) para la interconexión, 1 capa de silicio policristalino (*poly*) para crear la compuerta y también para la interconexión de las mismas (distancias cortas sólomente, por su mayor resistividad que el cobre), con 2 tipos de óxidos para crear el aislante de las compuertas, los que pueden ser alimentados con tensión máxima de 1,8V, y los que pueden ser alimentados con 3,3V (pensados principalmente como transistores para los circuitos de entrada y salida del chip). MOSIS denomina a las reglas de diseño que utilizaremos para esta tecnología como SCN6M\_DEEP, que significa:

- S: Escalable
- C: Tecnología de fabricación CMOS
- N: Pozo N.
- 6M: 6 metales y un conductor policristalino (*poly*) para crear las compuertas.
- DEEP: Reglas *deep submicron*.

Las reglas escalables se crearon originalmente para tecnologías desde 3µm hasta 1µm. Cuando aparecieron tecnologías nuevas, se hicieron modificaciones a las reglas para ajustarse a las nuevas posibilidades. Entonces se crearon primero las reglas *submicron*, y luego las *deep submicron*

<sup>1</sup>A modo de ejemplo, ver el procesador *Phoenix*, que en modo alerta consume 29.6 pW y 2.8 pJ/ciclo modo activo(22).

<sup>2</sup>Intellectual Property, nombre usual dado a los diseños listos para ser usados en un sistema, cuando se decide enfocar el diseño solamente en lo novedoso del producto, comprando el IP de todo lo que no diseñaremos.

<sup>3</sup>Los circuitos analógicos que ya fueron diseñados y probados para una tecnología deben ser diseñados nuevamente desde cero cuando se pasa de una tecnología a otra, ya que las arquitecturas de circuitos analógicos no son escalables (como si son los digitales)

<sup>4</sup>Time To Market (TTM), sigla utilizada para designar el tiempo que necesita un producto para ser diseñado, fabricado, testado y puesto en producción. Dependiendo de la aplicación, este tiempo va desde meses hasta años.

---

Una vez definido la herramienta de diseño (**Electric**) y el proceso de fabricación a utilizar (TSMC 180 nm), definimos la variable  $\lambda$ , que es la unidad que utilizará nuestro software para las dimensiones físicas. **Electric** define a  $\lambda$  como la mitad del largo de canal mínimo para la tecnología que se está utilizando. En nuestro caso, el largo de canal mínimo es de 180 nm (de allí viene la designación del nombre), por lo tanto  $\lambda$  es de 90 nm.

### 6.3.2. *Corners* de simulación

Debido a las variaciones propias del proceso de fabricación, obtendremos variaciones en las dimensiones físicas de los transistores y capas de metales. Por ello podemos esperar que el chip que probemos en el laboratorio luego de la fabricación contenga transistores que pueden ser lentos, típicos o rápidos, y que las interconexiones sean mas o menos capacitivas y resistivas. Generalmente todos los transistores e interconexiones dentro del chip seran de un sólo tipo. Por ello, el fabricante nos brinda modelos de simulación para los distintos casos de transistores que podemos esperar; y lo mismo con las capas de metal, nos brinda unas tablas que representan las distintas resistividades y capacidades parásitas que podemos esperar. Existe también la variación de tensión que puede tener la alimentación del circuito que vayamos a estudiar, ya que el diseño de la malla interna de alimentación se calcula con un margen de tolerancia de caída de tensión máxima. Por lo tanto podemos esperar que la alimentación de nuestro circuito sea de un %10 menor que la tensión nominal, por ejemplo. Por último, la temperatura ambiente impacta fuertemente en las características eléctricas del circuito integrado.

Por todo esto que mencionamos, se definen casos de simulación para contemplar las peores y mejores condiciones que podemos esperar. Este conjunto de casos se denominan *corners* de simulación. Por ejemplo, la peor condición para la performance es una temperatura de 0 grados, transistores lentos, capacidades mayores que la media y la tensión de alimentación un %10 menos que la nominal. Pero la peor condición desde el punto de vista del consumo de energía es 80 grados de temperatura ambiente, transistores rápidos, tensión nominal y capacidades mayores que la media. Como conclusión, debemos tener en cuenta las peores y mejores condiciones para realizar las simulaciones correspondientes, si esperamos que la simulación nos sirva para diseñar y lograr que la mayoría de los chips de un lote fabricado cumpla con las especificaciones de diseño.

En nuestro caso, utilizaremos un único modelo de transistores y capacidades y resistores parásitos que MOSIS brinda en su sitio web a modo de ejemplo del proceso de fabricación, ya que para obtener los *corners* de simulación es necesario contratar el servicio previamente. Tomamos ese modelo como el caso típico, y todas las simulaciones se hacen con 27 grados de temperatura ambiente y tensión de alimentación nominal (1.8 V).

## 6.4. Selección de las Celdas estándar

El resultado de la síntesis que realizamos en el capítulo 3 es un *netlist* VHDL que contiene sólo compuertas lógicas. Estas son compuertas lógicas abstractas, es decir que nuestro circuito fué mapeado a un conjunto finito de funciones logicas como las `and`, `or`, `xor`, `xnor`, etc.

Ahora es necesario mapear estas funciones lógicas a compuertas lógicas reales, que serán tambien un conjunto finito de compuertas, pero con dimensiones físicas definidas, y con una caracterización de su funcionamiento real. Estas compuertas lógicas se denominan celdas estándar, que sirven específicamente para la tecnología de fabricación que hayamos definido usar. Por cada

función lógica existen distintas versiones de la misma función, pero con distintas características eléctricas. Mostramos en la figura 6.3 un ejemplo de una celda estándar que implementa la función lógica `xnor`

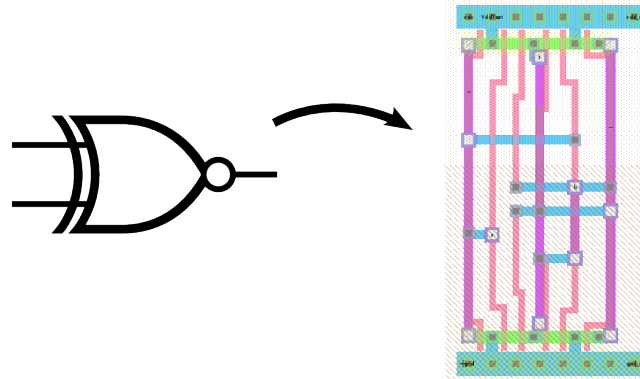


Figura 6.3: Mapeo de una función lógica a una celda estándar

Es común elegir las celdas estándar según el tipo de aplicación a desarrollar. Existen celdas estándar que fueron diseñadas para bajo consumo, o alta velocidad, o de mínima área. También existe la posibilidad de diseñar celdas que busquen la mejor relación velocidad-consumo-área que puedan ser utilizadas en muchas aplicaciones. En circuitos integrados para sistemas alimentados a batería se intentará utilizar las celdas de menor consumo y evitar siempre que sea posible las de mayor velocidad, en función del presupuesto de potencia disponible para el mismo.

En nuestro caso, aprovechando que la suma se realiza con apenas 3 compuertas: `and`, `or`, `xor`, podemos construir nuestro propio conjunto de celdas. Como punto de partida, utilizamos celdas que fueron realizadas para un estudio sobre circuitos digitales operando por debajo de la región de inversión débil(4).

### 6.4.1. Características

Estas celdas están correctamente dimensionadas para lograr el apilamiento en filas y columnas, y una grilla de interconexión amplia, que nos evitará problemas de este tipo. Para nuestros objetivos, modificamos las dimensiones de los transistores de canal P, para lograr un tiempo de crecida y bajada más simétricos, y así mejorar la velocidad. Resumimos las características de nuestras celdas estándar:

**Altura**  $128 \lambda^1$ , es la distancia desde el riel de Vdd hasta Vss, lo cual permite el ruteo horizontal de 16 pistas de metal por encima de las celdas, con metal 3 hasta capas superiores, como vemos en la figura 6.4.

**Ancho del riel de alimentación**  $8 \lambda$

**Tamaño de los transistores** Transistores n: largo y ancho mínimo ( $L_n = 2\lambda$ ,  $W_n = 4\lambda$ ,  $\frac{W_n}{L_n} = 2$ ). Transistores p: Largo mínimo. Dos versiones, una de ancho mínimo con  $\frac{W_p}{L_p} = 2$  y otra de mayor fuerza  $\frac{W_p}{L_p} = 4$ , a la que le agregamos `_1x` al final del nombre.

<sup>1</sup>En la bibliografía en inglés se denomina *pitch*

**Disposición de los pines** Se ubican siempre en la intersección de las pistas horizontales y verticales, que tienen una separación de  $8\lambda$ , ver figura 6.4.

**Conexión a bulk** Todas las celdas tienen conexión a bulk cada  $8\lambda$  para evitar el problema conocido como *latch up* que surge a causa de malas conexiones entre el *bulk* y la alimentación.

Otra característica de estas celdas es la distancia entre el riel de VSS hasta el riel de VDD. Esta distancia es de  $128\lambda$ , lo cual permite el ruteo horizontal de 16 pistas de metal por encima de las celdas, con metal 3 hasta capas superiores, como podemos ver en la figura 6.4.

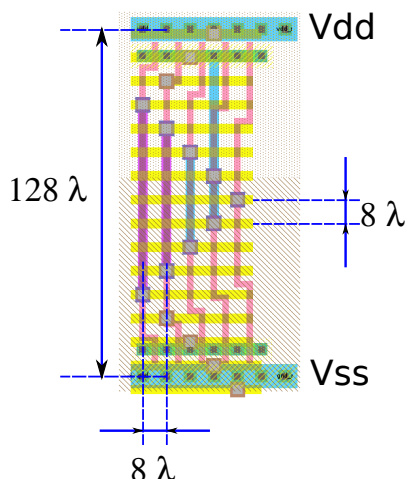


Figura 6.4: Grilla de interconexión y riel de alimentación de las celdas estándar de  $128\lambda$ . Por encima de cada celda, pueden pasar 16 pistas horizontales que la herramienta de conexión tendrá a disposición, a partir del metal 3 para arriba. Notar la separación de  $8\lambda$  para todas las pistas horizontales, y  $8\lambda$  para las verticales también. Sólo en la intersección de las pistas puede ubicarse los pines de entrada/salida de la celda, así como los contactos a *bulk*.

## 6.5. Ubicación y Cableado (*Place & Route*)

Partimos desde la descripción estructural<sup>1</sup> que producimos en el capítulo 3. De *Electric* usaremos la herramienta llamada *Silicon Compiler*, que se encarga de ubicar y conectar las celdas según el *netlist* VHDL.

### 6.5.1. Modificación al código fuente de la herramienta de generación del *netlist* VHDL

La herramienta *Silicon Compiler* requiere que el *netlist* VHDL sea modificado levemente:

1. Es necesario agregar las celdas estándar como componente en la porción declarativa de la arquitectura de la entidad en VHDL, que serán utilizadas instanciadas en el circuito.

<sup>1</sup>El resultado de la síntesis hecha con *lava* es un *netlist* VHDL a nivel de compuerta, listo para ser usado por una herramienta de *PnR*.

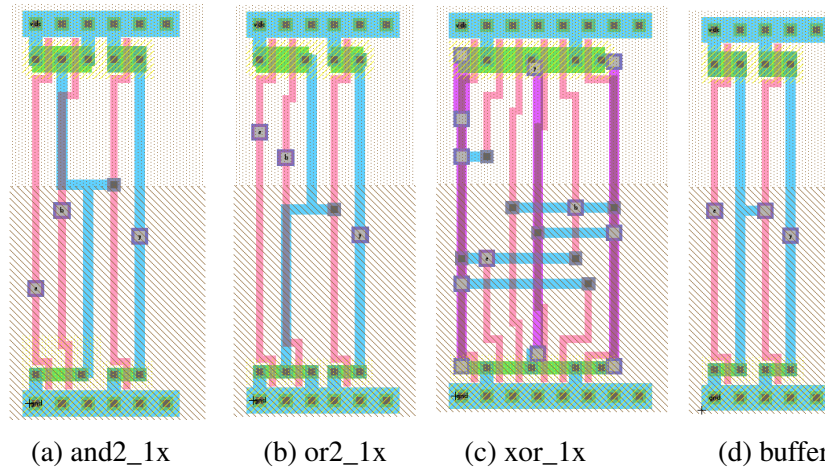


Figura 6.5: Conjunto de celdas estándar

2. Los nombres no pueden usar los símbolos [ y ], por lo cual es necesario eliminarlos.

Modificamos el código del programa de **lava** llamado `VhdlNew.hs`, encargado de crear el *netlist* VHDL para realizar (1), y para lograr (2) agregamos una línea para que lance un pequeño programa escrito en **perl** que mostramos en el apéndice B. Luego de esta modificación, cuando realizamos la síntesis lógica descrita en el capítulo 3, el *netlist* VHDL obtenido ya puede ser utilizado por *Silicon Compiler*.

### 6.5.2. Configuración de la herramienta de PnR

En la figura 6.6 vemos la configuración necesaria para hacer el PnR con nuestras celdas estándar. La configuración se realiza para ajustar la herramienta a las reglas de DRC y las dimensiones de nuestra celdas estándar. La variable de ajuste para modificar el *floorplan* es el parámetro *Number of rows of cells*. Según la cantidad de filas que asignemos, será el resultado obtenido para cada circuito.

|   |  |  |  |
|---|--|--|--|
| <b>Layout</b><br>Number of rows of cells: <input type="text" value="4"/>  |  | <b>Well</b><br>P-Well height (0 for none): <input type="text" value="41"/><br>P-Well offset from bottom: <input type="text" value="0"/><br>N-Well height (0 for none): <input type="text" value="51"/><br>N-Well offset from top: <input type="text" value="0"/>   |  |
| <b>Arcs</b><br>Horizontal routing arc: <input type="text" value="Metal-1"/><br>Horizontal wire width: <input type="text" value="3"/><br>Vertical routing arc: <input type="text" value="Metal-2"/><br>Vertical wire width: <input type="text" value="3"/><br>Power wire width: <input type="text" value="8"/><br>Main power wire width: <input type="text" value="30"/><br>Main power arc: <input type="text" value="Metal-2"/> |  | <b>Design Rules</b><br>Via size: <input type="text" value="3"/><br>Minimum metal spacing: <input type="text" value="10"/><br>Routing feed-through size: <input type="text" value="16"/><br>Routing min. port distance: <input type="text" value="8"/><br>Routing min. active distance: <input type="text" value="-9"/> |  |

Figura 6.6: Configuración del Silicon Compiler

### 6.5.3. Distintas alternativas y resultados

La regla de oro para todo *layout* es que sea lo más cuadrado posible, ya que de esta forma es más eficiente el uso del área cuando integramos nuestro circuito con otros de mayor jerarquía. La métrica de selección del resultado será el área que ocupe nuestro circuito y la relación entre sus lados: cuanto más pequeño<sup>1</sup> y cuadrado mejor. En las tablas 6.3, 6.4 y 6.5 vemos los resultados para todos los sumadores analizados, con 3 tamaños distintos y para diferentes alternativas de *floorplan*, variando el parámetro *Number of rows of cells*.

En la figura 6.7 presentamos todos los *layout* seleccionados con el criterio recién mencionado. Resumimos con este gráfico el resultado de PnR de cada arquitectura para 3 tamaños de sumandos distintos.

| Ripple Carry | 8      |        |        | 16      |         |         | 32      |         |         |
|--------------|--------|--------|--------|---------|---------|---------|---------|---------|---------|
| filas        | 3      | 4      | 5      | 5       | 6       | 7       | 8       | 7       | 6       |
| ancho        | 1297   | 966    | 843    | 1562    | 1350    | 1142    | 1881    | 2169    | 2581    |
| alto         | 665    | 839    | 958    | 1227    | 1196    | 1600    | 2000    | 1850    | 1360    |
| área         | 862505 | 810474 | 807594 | 1916574 | 1614600 | 1827200 | 3762000 | 4012650 | 3510160 |
| ancho/alto   | 0,51   | 0,87   | 1,14   | 0,79    | 0,89    | 1,40    | 1,06    | 0,85    | 0,53    |

Cuadro 6.3: Ubicación y conexionado para Ripple carry en 3 tamaños: 8, 16 y 32 bits. Las dimensiones de los lados y el área están en  $\lambda$  y  $\lambda^2$  respectivamente.

| Skiansky   | 8       |         |         | 16      |         |         |         | 32      |         |         |
|------------|---------|---------|---------|---------|---------|---------|---------|---------|---------|---------|
| filas      | 3       | 4       | 5       | 4       | 5       | 6       | 7       | 6       | 7       | 8       |
| ancho      | 1516    | 1167    | 954     | 3538    | 2042    | 1825    | 1536    | 3678    | 3229    | 2860    |
| alto       | 810     | 973     | 1252    | 1345    | 1581    | 1878    | 2063    | 2639    | 2695    | 3072    |
| área       | 1227960 | 1135491 | 1194408 | 4758610 | 3228402 | 3427350 | 3168768 | 9706242 | 8702155 | 8785920 |
| ancho/alto | 0,53    | 0,83    | 1,31    | 0,38    | 0,77    | 1,03    | 1,34    | 0,72    | 0,83    | 1,07    |

Cuadro 6.4: Ubicación y conexionado para Skalknsy en 3 tamaños: 8, 16 y 32 bits. Las dimensiones de los lados y el área están en  $\lambda$  y  $\lambda^2$  respectivamente.

| Brent-Kung | 8       |        |         | 16      |         |         |         | 32      |         |         |         |
|------------|---------|--------|---------|---------|---------|---------|---------|---------|---------|---------|---------|
| filas      | 3       | 4      | 5       | 4       | 5       | 6       | 7       | 6       | 7       | 8       | 9       |
| ancho      | 1386    | 1090   | 945     | 2268    | 1757    | 1545    | 1429    | 3196    | 1983    | 2569    | 2424    |
| alto       | 746     | 910    | 1199    | 1255    | 1436    | 1540    | 1959    | 2024    | 2871    | 2927    | 2882    |
| área       | 1033956 | 991900 | 1133055 | 2846340 | 2523052 | 2379300 | 2799411 | 6468704 | 5693193 | 7519463 | 6985968 |
| ancho/alto | 0,54    | 0,83   | 1,27    | 0,55    | 0,82    | 1,00    | 1,37    | 0,63    | 1,45    | 1,14    | 1,19    |

Cuadro 6.5: Ubicación y conexionado para Brent-Kung en 3 tamaños: 8, 16 y 32 bits. Las dimensiones de los lados y el área están en  $\lambda$  y  $\lambda^2$  respectivamente.

<sup>1</sup>El área es una métrica de calidad del circuito, según lo planteamos en el capítulo 2.





Figura 6.7: Tres arquitecturas y tres tamaños de sumandos distintos. Los circuitos están en escala, la unidad de los dos ejes es  $\lambda = 90 \text{ nm}$

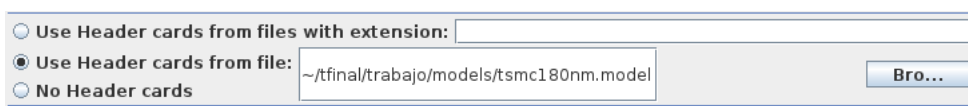


Figura 6.8: Configuración de Electric para la extracción del circuito y simulación en un motor tipo Spice.

## 6.6. Comparación de las distintas arquitecturas

### 6.6.1. Simulación post *layout* para calcular performance y potencia

Para realizar la comparación, necesitamos simular nuestros circuitos luego de hacer una extracción del *layout* del circuito, para obtener también las capacidades y resistores párasitos del mismo. A esta simulación se le suele denominar, simulación post *layout*.

#### Extracción del circuito, las dimensiones físicas de los transistores y elementos parásitos

Para realizar una simulación que sea la mejor estimación de la performance y potencia, es necesario realizar una extracción del circuito a partir del *layout*, y para eso es necesario configurar **Electric** de la siguiente forma:

- Parámetros del modelo de transistor: Cargar los modelos de transistores de la tecnología que estamos usando (TSMC 180 nm). Este es un archivo que nos brinda MOSIS, del cual la primera parte nosotros debemos comentar (ya que es toda la información propia de la tecnología y no solamente la específica para el simulador), y renombramos como `tsmc180nm.model`. También es necesario realizar los siguientes cambios al archivo:

```
.MODEL CMOSN NMOS cambiar por .MODEL N NMOS
.MODEL CMOSP PMOS cambiar por .MODEL P PMOS
```

Luego de esos cambios, cargar el archivo en:

File -> Preferences -> Tools -> Spice/CDL -> Use Header cards from file:

- Del archivo recién mencionado obtenemos la resistividad de los metales, el *poly*, el sustrato y el silicio dopado  $N^+$  y  $P^+$ . También obtenemos la capacidad entre cada capa de material y el resto de las capas. Esta información la utilizamos para configurar **Electric** en:

File -> Preferences -> Tools -> Parasitic

- Extracción de parásitos: Para realizar la extracción de las capacidades y resistores parásitos de las interconexiones, seleccionamos:

File -> Preferences -> Tools -> Spice/CDL -> Parasitics: Conservative RC

- Seleccionar el formato (lenguaje) del *netlist spice* del simulador que utilizaremos: Las opciones son: **Spice 2**, **Spice 3**, **HSpice**, **PSPice**, **Gnucap**, **SmartSpice**, **Spice Opus**, **Xyce**, **HSpice for Assura**, **HSpice for Calibre**. De los cuales, sólo 3 opciones tienen licencias calificadas como software libre: **Spice 3**, **Gnucap** y **Xyce**. **Spice 3** hace referencia a la versión **Spice3f5** del estándar de facto para las simulaciones de circuitos analógicos, en general todos los programas pueden leer un *netlist* en ese formato.



---

## Motores de simulación analógica

De la lista de opciones que nos brinda **Electric**, hacemos una selección y breve reseña de los simuladores de circuitos que tienen licencia calificadas como software libre:

**Gnucap** Simulador de circuitos analógicos y señal mixta, está diseñado para reemplazar Spice, pero con ventajas técnicas significantes. Más rápido e igual de preciso, diseñado para alta flexibilidad por medio de un sistema de *plugins*, permite elegir qué algoritmos utilizará el *solver*, relación de compromiso entre precisión y velocidad controlado por el usuario, totalmente interactivo por medio de *scripting*. Puede leer *netlists* en formato tradicional **Spice 3**, **Spectre**<sup>1</sup> y *netlist* Verilog.

**Ngspice** Simulador de circuitos de señal mixta. Se basa en tres paquetes de software libre: Spice3f5, Cider1b1 y Xpice. Implementa muchas mejoras y cuenta con una comunidad de desarrolladores y usuarios que dan soporte y corrección de *bugs*. Fue ampliamente incorporado en otros entornos de simulación de circuitos, por ser la continuación con licencia libre del Spice3f5.

**Xyce** Simulador de circuitos con compatibilidad Spice, implementa mejoras para lograr simulaciones de millones de transistores con la misma precisión. Implementa alto nivel de paralelismo, *solvers* iterativos mejorados y simula efectos de radiación (corriente de fotones y destrucción de neutrones).

## Selección del simulador

Desde el punto de vista de la instalación de las herramientas, Ngspice y Xyce son más complicadas con respecto a Gnucap. Las características distintivas de estos dos proyectos no son necesarias para las simulaciones de nuestros diseños en particular. Por ello decidimos utilizar **Gnucap** ya que es de muy fácil instalación en el sistema operativo que estamos utilizando (Debian "Wheezy").

Ahora que ya tenemos seleccionado el simulador y configurada la herramienta para realizar la extracción, lo primero que simularemos es un oscilador anillo de 31 etapas, para dar cuenta de lo que logramos con nuestro flujo de herramientas (**Electric** + **Gnucap**), en comparación con lo que MOSIS brinda de esa prueba:

|                        |        |             |
|------------------------|--------|-------------|
| Ring Oscillator Freq.  |        |             |
| DIV1024 (31-stg, 1.8V) | 377.13 | MHz         |
| Ring Oscillator Power  |        |             |
| DIV1024 (31-stg, 1.8V) | 0.02   | uW/MHz/gate |

## Simulación de un oscilador anillo

Realizamos el layout del oscilador anillo de 31 etapas que mostramos en la figura 6.9, y realizamos la simulación de régimen transitorio. Para ver la frecuencia de oscilación, guardamos los datos de la tensión de una salida de uno de los inversores, y para calcular la potencia, guardamos la corriente que sale de la fuente de alimentación. Nuestros resultados se pueden ver la tabla 6.6.

Justificamos la diferencia entre nuestros resultados y los datos brindados por el fabricante en que no existe un detalle de la prueba de caracterización de la tecnología de fabricación. Es

---

<sup>1</sup>Motor de simulación de Cadence.

| Circuito                      | Frecuencia de oscilación | Potencia               |
|-------------------------------|--------------------------|------------------------|
| Oscilador anillo de 31 etapas | 325 MHz                  | 0.026 uW/MHz/compuerta |

Cuadro 6.6: Simulación post *layout* del oscilador anillo de 31 etapas

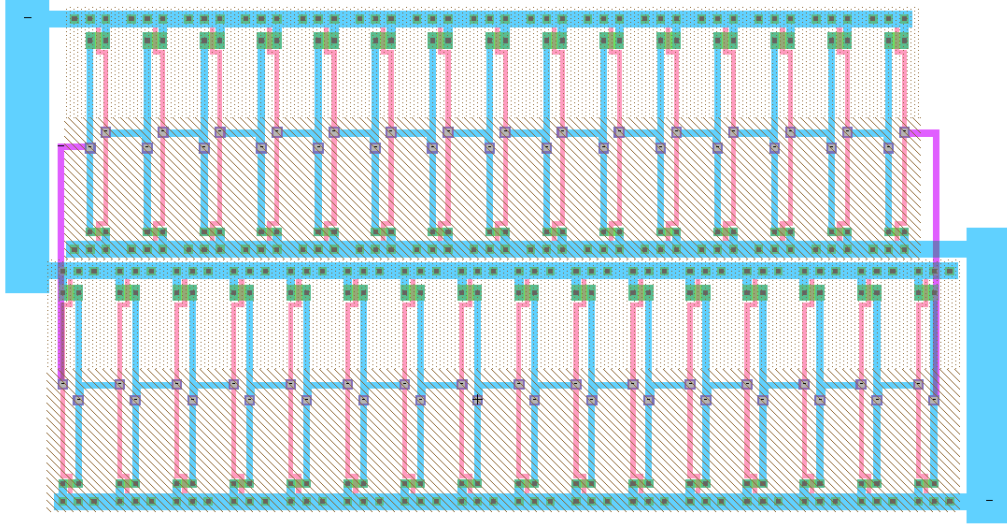


Figura 6.9: Oscilador anillo de 31 etapas

decir, no brinda las dimensiones físicas del inverter utilizado, cómo fué interconectado, etc, lo cual impacta fuertemente en la performance y potencia.

### 6.6.2. Medición de la performance en un sumador

Siguiendo lo que definimos en el capítulo 2 para la performance, ahora seremos más específicos para los sumadores y definiremos las condiciones que nos permiten medir correctamente el tiempo de propagación  $t_p$  del camino crítico. Realizaremos dos simulaciones de régimen transitorio para que el estado de las entradas cambie de forma tal que exista el camino crítico. Una simulación para encontrar  $t_{pHL}$  y otra para  $t_{pLH}$ .

Para eso necesitamos generar cambios de estados que generen acarreo en todos los bits, ya que el bit mas significativo de la suma y el acarreo de salida, dependen de los acarreos del bit anterior. Si logramos que desde el bit menos significativo se propague hasta el más significativo, estamos exitando el camino crítico para que se propague la señal desde los bits menos significativos a los más significativos. Esto se puede lograr con las siguientes 2 transiciones (ejemplo para un sumador de 8 bits):

$$(A_0, B_0) \rightarrow (A_1, B_1) = (0x00, 0xFF) \rightarrow (0x01, 0xFF) \quad (6.1)$$

$$(A_1, B_1) \rightarrow (A_0, B_0) = (0x01, 0xFF) \rightarrow (0x00, 0xFF) \quad (6.2)$$

Como el estado final de una transición es el estado inicial de la otra, y viceversa, podemos realizar estas dos mediciones con una sólo simulación de régimen transitorio que cíclicamente

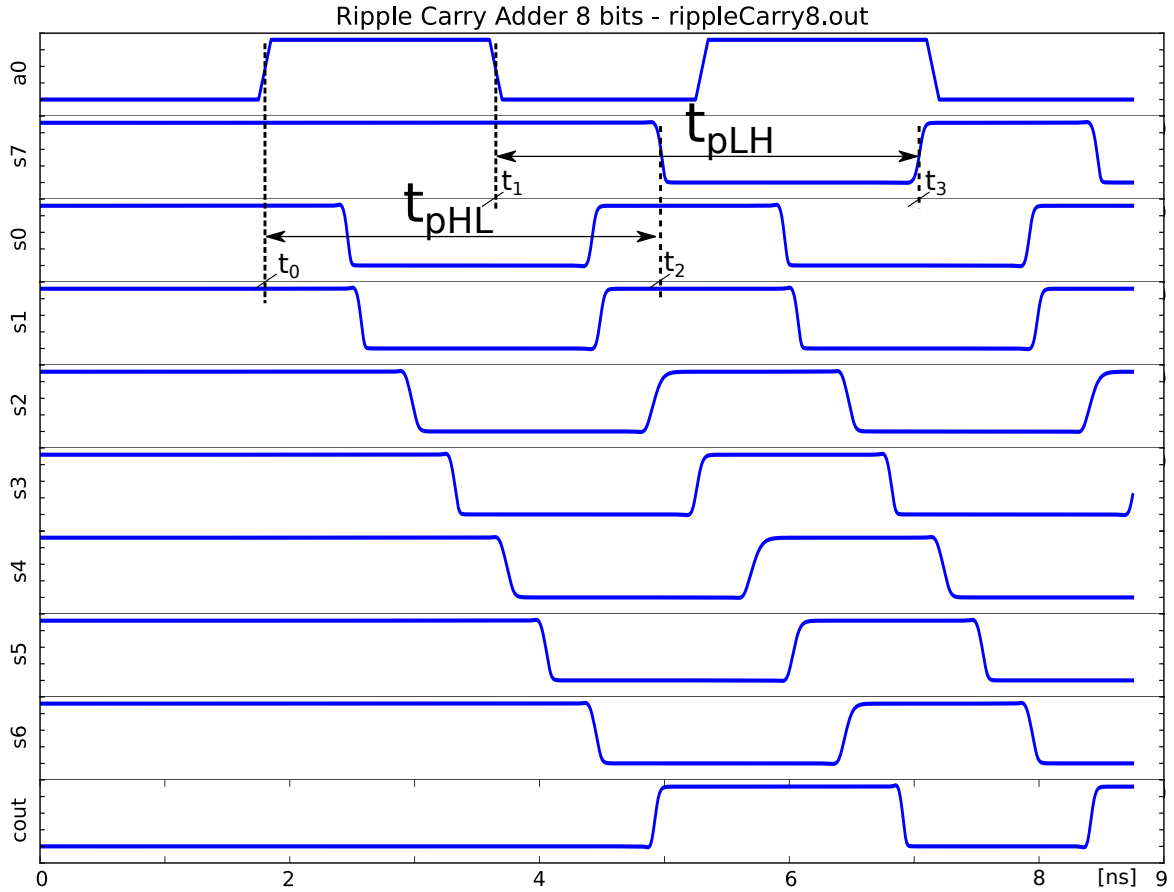


Figura 6.10: Simulación de régimen transitorio del circuito Ripple Carry 8 bits. De los vectores de entradas, sólo mostramos el bit menos significativo de la entrada A, porque es el único que cambia. Las señales de salidas están ordenadas para mostrar la más lenta cerca de la entrada y poder calcular el retardo.

pase de un estado al otro. Eso es lo que mostramos en la figura 6.10, que utilizamos para encontrar el camino crítico. Vemos que la señal  $s7$  es la más lenta, y que la transición 6.1 nos sirve para calcular  $t_{pHL}$ . La transición 6.2 nos permite calcular  $t_{pLH}$ .

De la figura 6.11 extraemos los datos para realizar la medición del  $t_p$  del sumador de **ripple carry de 8 bits**:

$$t_{pHL} = t_2 - t_0 = 5,01 \text{ ns} - 1,8 \text{ ns} = 3,21 \text{ ns}$$

$$t_{pLH} = t_3 - t_1 = 7,05 \text{ ns} - 3,61 \text{ ns} = 3,44 \text{ ns}$$

$$t_p = \frac{(t_{pHL} + t_{pLH})}{2} = 3,325 \text{ ns}$$

### 6.6.3. Medición de la potencia en un sumador

La actividad de una señal afecta tanto a la potencia estática de un circuito CMOS como a la potencia dinámica. La potencia estática depende del estado de la señal, y la potencia dinámica depende de la tasa de cambio de los pines en cada celda estándar. Nuestra simulación para la potencia comparte los mismos vectores de entrada que el de performance, ya que con estos vectores

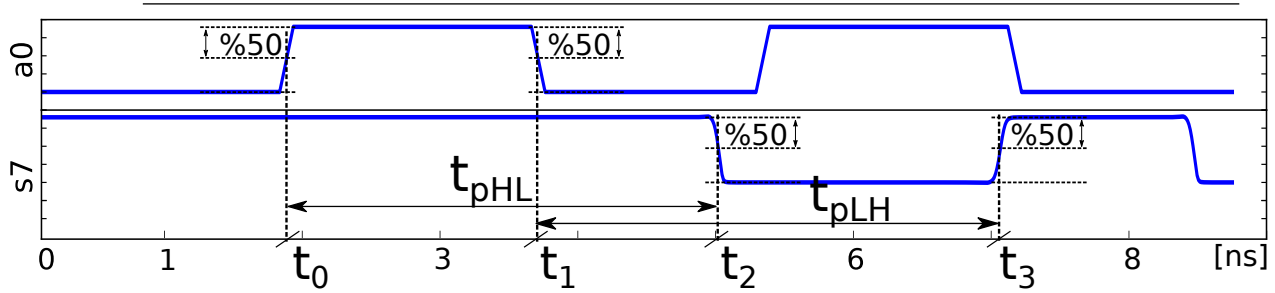


Figura 6.11: Simulación de régimen transitorio del circuito Ripple Carry 8 bits. Para calcular  $t_{pHL}$  y  $t_{pLH}$  lo hacemos sobre la señal más lenta del circuito, que en este caso es el bit más significativo de la suma

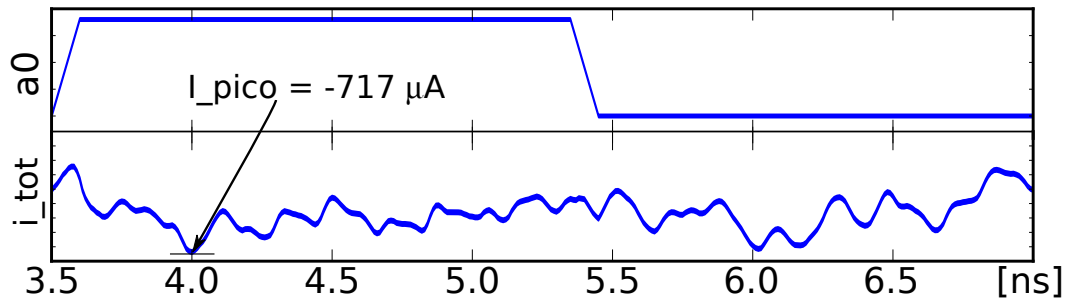


Figura 6.12: Simulación de régimen transitorio del circuito Ripple Carry 8 bits. Mostramos la corriente instantánea a través de la fuente de alimentación, el valor negativo se debe a que la corriente sale de la fuente.

generamos la mayor actividad posible en los pines de salida. En la figura 6.12 podemos ver las formas de onda de la excitación y la corriente instantánea que sale de la fuente de alimentación. Para obtener el valor de la potencia del circuito, aplicamos la ecuación 2.1, que lo realizamos directamente con el simulador, obteniendo una potencia promedio total de:

$$P_{av} = \frac{1}{t_f - t_i} \int_{t_i}^{t_f} p(t) dt = \frac{1,8 \text{ V}}{3,5 \text{ ns}} \int_{3,5 \text{ ns}}^{7 \text{ ns}} i_{\text{fuente}}(t) dt$$

$$P_{av} = -838,269 \mu\text{W}$$

El período de integración que elegimos está determinado por el  $t_p$  del circuito, lo que físicamente quiere decir: Medimos la potencia del circuito cuando está funcionando a la mayor velocidad posible.

#### 6.6.4. Potencia y performance de todas las arquitecturas

La metodología que explicamos en las secciones 6.6.2 y 6.6.3, la aplicamos para todas las arquitecturas y todos los tamaños de bits que tomamos de prueba. En el apéndice D dejamos el código utilizado para realizar las simulaciones analógicas, junto con el código en **Python** para poder visualizar las formas de onda.

## Producto performance-potencia

Si realizamos el producto  $t_p$  por la potencia de cada implementación, tenemos una métrica muy representativa del compromiso entre velocidad y potencia. Cuanto mas chico sea este número, mejor nuestro circuito. En la tabla 6.7 representamos esta métrica en la columna **PPP** (Producto Performance-Potencia).

### 6.6.5. Comparación de performance, potencia y área

Presentamos en la siguiente tabla el resumen de todas las simulaciones hechas para calcular la performance (midiendo el  $t_p$ ) y la potencia media de cada circuito. Comparamos nuestras implementaciones de **Brent-Kung** y **Sklansky** con el equivalente en tamaño del sumador de **ripple carry**, para mostrar la mejora con respecto a este sumador.

| Arquitectura | bits | Área        |        | $t_p$ |       | Potencia  |        | PPP<br>[pJ] |
|--------------|------|-------------|--------|-------|-------|-----------|--------|-------------|
|              |      | $[\mu m^2]$ | %      | [ns]  | %     | $[\mu W]$ | %      |             |
| Ripple Carry | 8    | 7836.44     |        | 3.325 |       | 734.36    |        | 2.4         |
|              | 16   | 16146       |        | 9     |       | 1033.07   |        | 6.2         |
|              | 32   | 35101.6     |        | 40    |       | 1032.97   |        | 11.9        |
| Brent Kung   | 8    | 9919        | 126.58 | 1.95  | 58.65 | 1095.91   | 149.23 | 2.1         |
|              | 16   | 23793       | 147.36 | 4.1   | 68.22 | 1651.95   | 159.91 | 6.8         |
|              | 32   | 56981.93    | 162.33 | 6.9   | 60.00 | 2049.86   | 198.44 | 14.1        |
| Sklansky     | 8    | 11354.91    | 144.90 | 1.4   | 42.11 | 2330.71   | 317.38 | 3.3         |
|              | 16   | 32284.02    | 199.95 | 3.1   | 51.58 | 2411.29   | 233.41 | 7.5         |
|              | 32   | 87021.55    | 247.91 | 5.2   | 45.22 | 3237.50   | 313.42 | 16.8        |

Cuadro 6.7: Comparación de los resultados de las 3 arquitecturas

Podemos ver que el sumador de **Sklansky** tiene una performance de hasta 2,2 veces más rápido para tamaños de 32 bits, con 3,13 veces mas de potencia y 2,47 veces más de área. Por otro lado, el sumador de **Brenk-Kung** de 32 bits mejora la performance en 1,67 veces, con un costo en potencia de casi 2 veces más, y con una área 1,62 veces más grande.

Si comparamos estas dos arquitecturas entre sí, vemos que el Brent-Kung de 32 bits es apenas más lento que Sklansky, pero con bastante menos de potencia y un área %52 más chica.

Por lo tanto, hemos logrado un conjunto de sumadores que según los requerimientos de área, potencia y performance, elegiremos la arquitectura más adecuada. Para sumadores de 32 bits, la mayor velocidad se logra con Sklansky y el mejor compromiso entre velocidad, potencia y área con Brenk-Kung. Para todos los tamaños de sumadores, si la performance no es un problema, un ripple carry es la solución optima de estos tres, ya que ahorra área y energía.

---

# **Parte III**

## **Conclusiones**





# Capítulo 7

## Conclusiones finales

---

*Nos hemos propuesto resolver un problema que se encuentra en todos los sistemas de procesamiento de señales y los microprocesadores, lo hemos logrado resolver utilizando herramientas de software libre, y los resultados obtenidos son del orden de magnitud que las soluciones propuestas en otros estudios en la misma tecnología. Para lograr este objetivo, y como subproducto del proceso, en la secciones 4.1.2 y 6.2 brindamos un informe sobre el estado de la cuestión sobre las herramientas de software libre disponibles para el diseño de circuitos integrados. Brindamos en la sección de apéndices todo el código fuente de las distintas tareas que hemos automatizado.*

### 7.1. Metodología

**Gran flexibilidad** Podemos elegir qué herramientas utilizar a lo largo de todo el flujo de diseño. Según la complejidad o magnitud del diseño, hay distintas alternativas. Si en alguna de las etapas del diseño es necesario o preferible utilizar otra herramienta, hemos encontrado que es posible realizarlo gracias a la existencia de formatos estándar para los archivos que utilizan las herramientas de software.

**Electric** resultó ser la herramienta más simple de instalar y utilizar, y que integra en un único entorno gráfico casi todas las herramientas necesarias para realizar el flujo físico. No incluye herramientas para realizar análisis de performance y potencia, pero utilizando la extracción del *layout* nos permitió elegir, sin ningún trabajo extra, un simulador analógico (entre varias alternativas posibles) y realizar simulaciones para calcular la potencia y performance. La herramienta de extracción de parásitos de Electric tiene un modelo de parámetros concentrados que realiza una simplificación pesimista. Fué suficiente para realizar el análisis comparativo de las arquitecturas, pero advertimos al lector que existe un camino muy directo y simple para conseguir mejores extracciones de parásitos. Si exportamos el *layout* en formato `cif` y lo importamos desde Magic, podemos realizar la extracción y el netlist spice para la simulación, ya que la extracción de Magic es mejor que la de Electric y Alliance.

La de extracción de parásitos es realmente crítica, porque será la que nos permita predecir el real funcionamiento de nuestro sistema. La medición de performance y potencia se realizó con **Gnucap** a partir del netlist spice que genera Electric a partir del *layout* final. Aunque esta metodología nos permite obtener la mayor precisión posible, para circuitos mas grandes empieza a requerir de muchos recursos computacionales. Por ello, existe otra forma de realizar este análisis que se denomina STA (Static Timing Analysis) que reduce enormemente el esfuerzo de cálculo. Para ello, nuevamente existe una alternativa que se basa en exportar el circuito desde Electric e

---

importarlo en Magic para utilizar su herramienta de STA llamada *vesta*.

El [PnR](#) lo realizamos de forma automática, con la única intervención nuestra para determinar las dimensiones físicas deseadas, en términos de filas y columnas de celdas estándar apiladas.

El HDL (**Lava**) que hemos utilizado es simplemente un conjunto de módulos de Haskell, por lo tanto realizamos el diseño digital utilizando un único lenguaje de programación de propósito general, aprovechando las ventajas del mismo. Además, hemos realizado la verificación formal de nuestros circuitos, de la misma forma en que describimos los mismos. Cabe mencionar la gran cantidad de alternativas para elegir el HDL, lo cuál permite al diseñador optar por el lenguaje que se ajuste a sus necesidades, con la condición de que tenga la capacidad de producir un *netlist* VHDL estructural.

También es importante resaltar que esta metodología nos permite realizar **circuitos secuenciales**. Para ello, a partir del VHDL que nos genera Lava podemos utilizar una herramienta como YOSYS([27](#)) para sintetizar este VHDL comportamental a un *netlist* a nivel de compuertas. Luego será necesario una traducción desde este *netlist* verilog a un *netlist* VHDL, si queremos continuar usando Electric.

## 7.2. Resultados

Los resultados obtenidos para el sumador de Brent-Kung y Sklansky están en el mismo orden de magnitud que otros estudios([6](#); [21](#)) realizados en 180 nm. Considerando que no realizamos iteraciones para mejorar la implementación física, podemos afirmar que hay lugar para optimizar el resultado. Se pueden mejorar los resultados obtenidos por medio de la utilización de otros algoritmos para el [PnR](#). Incluso hay mucho lugar para mejora si personalizamos las celdas estándar para favorecer alguna métrica a costa de otra. Además, si ampliamos nuestro conjunto de celdas estándar a versiones con mayor capacidad de manejo de corriente, sumado a un algoritmo de [PnR](#) que las utilice allí donde es necesario.

Otra fuente de mejora es realizar el *layout* completamente personalizado, sin utilizar herramientas de [PnR](#), ya que en baja escala los resultados de un *layout* realizado por una persona son más óptimos, si entendemos cabalmente el funcionamiento del circuito. Esta última opción sólo será aplicable si la performance de todo el sistema dependiese de éste circuito, porque en general no será posible realizar el *layout* manualmente ya que lleva mucho más tiempo. Por eso resaltamos que la importancia de estos resultados es que se lograron con una metodología automatizada, lo que nos permite pensar en escalas de circuitos más grande que los sumadores que hemos implementado.

Como conclusión de los resultados obtenidos, podemos afirmar además de lograr un sumador rápido, hemos desarrollado la capacidad de implementar sumadores de cualquier tamaño de forma automática, y que se ajusten a los requerimientos de performance, potencia y área, según hemos detallado en la sección [6.6.5](#).

## 7.3. Aplicaciones

Con esta misma metodología queda abierta la posibilidad para la implementación de circuitos combinatoriales en general: unidades aritméticas, decodificadores, codificadores, funciones lógicas, etc.

---

Para diseñar circuitos secuenciales se requiere algunas tareas y herramientas extras que no hemos utilizado. Se requiere de realizar una síntesis lógica del VDHL que generemos con Lava, y una herramienta de [STA](#) para chequear las condiciones de *setup* y *hold*. Aunque en este trabajo no hemos abordado circuitos de este tipo, hemos mencionado las herramientas necesarias para poder realizarlos, con esta metodología apenas modificada.

También podemos diseñar circuitos analógicos, ya que hemos utilizado tres de las cuatro herramientas básicas para realizarlo: El simulador tipo spice (Gnucap), el editor de *layout* y la herramienta de extracción de parásitos. La otra herramienta necesaria es el editor de esquemáticos, pero que está disponible en Electric.

## 7.4. Desafíos futuros

Al realizar este proyecto integrador, hemos detectado la oportunidad de desarrollar líneas de trabajo en pos de profundizar algunos aspectos de la metodología o de la aplicación.

- Crear un flujo que una los resultados esperados de [PnR](#) con la selección de la arquitectura a implementar, de forma automática.
- .
- .

---

# Apéndice A

## NETLIST VHDL

---

```
library ieee;

use ieee.std_logic_1164.all;

entity
    BrentKungFastAdder
is
port
    (

        a_0 : in std_logic
    ; a_1 : in std_logic
    ; a_2 : in std_logic
    ; a_3 : in std_logic
    ; a_4 : in std_logic
    ; a_5 : in std_logic
    ; a_6 : in std_logic
    ; a_7 : in std_logic
    ; b_0 : in std_logic
    ; b_1 : in std_logic
    ; b_2 : in std_logic
    ; b_3 : in std_logic
    ; b_4 : in std_logic
    ; b_5 : in std_logic
    ; b_6 : in std_logic
    ; b_7 : in std_logic

        ; sum_0 : out std_logic
        ; sum_1 : out std_logic
        ; sum_2 : out std_logic
        ; sum_3 : out std_logic
        ; sum_4 : out std_logic
        ; sum_5 : out std_logic
        ; sum_6 : out std_logic
        ; sum_7 : out std_logic
        ; cout : out std_logic
    );
```

---

```
end BrentKungFastAdder;

architecture
  structural
of
  BrentKungFastAdder
is
  signal w1 : std_logic;
  signal w2 : std_logic;
  signal w3 : std_logic;
  signal w4 : std_logic;
  signal w5 : std_logic;
  signal w6 : std_logic;
  signal w7 : std_logic;
  signal w8 : std_logic;
  signal w9 : std_logic;
  signal w10 : std_logic;
  signal w11 : std_logic;
  signal w12 : std_logic;
  signal w13 : std_logic;
  signal w14 : std_logic;
  signal w15 : std_logic;
  signal w16 : std_logic;
  signal w17 : std_logic;
  signal w18 : std_logic;
  signal w19 : std_logic;
  signal w20 : std_logic;
  signal w21 : std_logic;
  signal w22 : std_logic;
  signal w23 : std_logic;
  signal w24 : std_logic;
  signal w25 : std_logic;
  signal w26 : std_logic;
  signal w27 : std_logic;
  signal w28 : std_logic;
  signal w29 : std_logic;
  signal w30 : std_logic;
  signal w31 : std_logic;
  signal w32 : std_logic;
  signal w33 : std_logic;
  signal w34 : std_logic;
  signal w35 : std_logic;
  signal w36 : std_logic;
  signal w37 : std_logic;
  signal w38 : std_logic;
  signal w39 : std_logic;
  signal w40 : std_logic;
  signal w41 : std_logic;
  signal w42 : std_logic;
  signal w43 : std_logic;
  signal w44 : std_logic;
  signal w45 : std_logic;
  signal w46 : std_logic;
  signal w47 : std_logic;
  signal w48 : std_logic;
  signal w49 : std_logic;
```

---

```

signal w50 : std_logic;
signal w51 : std_logic;
signal w52 : std_logic;
signal w53 : std_logic;
signal w54 : std_logic;
signal w55 : std_logic;
signal w56 : std_logic;
signal w57 : std_logic;
signal w58 : std_logic;
signal w59 : std_logic;
signal w60 : std_logic;
signal w61 : std_logic;
signal w62 : std_logic;
signal w63 : std_logic;
signal w64 : std_logic;
signal w65 : std_logic;
begin
  c_w2      : wire port map (a_0, w2);
  c_w3      : wire port map (b_0, w3);
  c_w1      : xor2 port map (w2, w3, w1);
  c_w6      : wire port map (a_1, w6);
  c_w7      : wire port map (b_1, w7);
  c_w5      : xor2 port map (w6, w7, w5);
  c_w8      : and2 port map (w2, w3, w8);
  c_w4      : xor2 port map (w5, w8, w4);
  c_w11     : wire port map (a_2, w11);
  c_w12     : wire port map (b_2, w12);
  c_w10     : xor2 port map (w11, w12, w10);
  c_w14     : and2 port map (w6, w7, w14);
  c_w15     : and2 port map (w5, w8, w15);
  c_w13     : or2  port map (w14, w15, w13);
  c_w9      : xor2 port map (w10, w13, w9);
  c_w18     : wire port map (a_3, w18);
  c_w19     : wire port map (b_3, w19);
  c_w17     : xor2 port map (w18, w19, w17);
  c_w21     : and2 port map (w11, w12, w21);
  c_w22     : and2 port map (w10, w13, w22);
  c_w20     : or2  port map (w21, w22, w20);
  c_w16     : xor2 port map (w17, w20, w16);
  c_w25     : wire port map (a_4, w25);
  c_w26     : wire port map (b_4, w26);
  c_w24     : xor2 port map (w25, w26, w24);
  c_w29     : and2 port map (w18, w19, w29);
  c_w30     : and2 port map (w17, w21, w30);
  c_w28     : or2  port map (w29, w30, w28);
  c_w32     : and2 port map (w17, w10, w32);
  c_w31     : and2 port map (w32, w13, w31);
  c_w27     : or2  port map (w28, w31, w27);
  c_w23     : xor2 port map (w24, w27, w23);
  c_w35     : wire port map (a_5, w35);
  c_w36     : wire port map (b_5, w36);
  c_w34     : xor2 port map (w35, w36, w34);
  c_w38     : and2 port map (w25, w26, w38);
  c_w39     : and2 port map (w24, w27, w39);
  c_w37     : or2  port map (w38, w39, w37);
  c_w33     : xor2 port map (w34, w37, w33);

```

---

```

c_w42      : wire port map (a_6, w42);
c_w43      : wire port map (b_6, w43);
c_w41      : xor2 port map (w42, w43, w41);
c_w46      : and2 port map (w35, w36, w46);
c_w47      : and2 port map (w34, w38, w47);
c_w45      : or2 port map (w46, w47, w45);
c_w49      : and2 port map (w34, w24, w49);
c_w48      : and2 port map (w49, w27, w48);
c_w44      : or2 port map (w45, w48, w44);
c_w40      : xor2 port map (w41, w44, w40);
c_w52      : wire port map (a_7, w52);
c_w53      : wire port map (b_7, w53);
c_w51      : xor2 port map (w52, w53, w51);
c_w55      : and2 port map (w42, w43, w55);
c_w56      : and2 port map (w41, w44, w56);
c_w54      : or2 port map (w55, w56, w54);
c_w50      : xor2 port map (w51, w54, w50);
c_w60      : and2 port map (w52, w53, w60);
c_w61      : and2 port map (w51, w55, w61);
c_w59      : or2 port map (w60, w61, w59);
c_w63      : and2 port map (w51, w41, w63);
c_w62      : and2 port map (w63, w45, w62);
c_w58      : or2 port map (w59, w62, w58);
c_w65      : and2 port map (w63, w49, w65);
c_w64      : and2 port map (w65, w27, w64);
c_w57      : or2 port map (w58, w64, w57);


c_sum_0    : wire port map (w1, sum_0);
c_sum_1    : wire port map (w4, sum_1);
c_sum_2    : wire port map (w9, sum_2);
c_sum_3    : wire port map (w16, sum_3);
c_sum_4    : wire port map (w23, sum_4);
c_sum_5    : wire port map (w33, sum_5);
c_sum_6    : wire port map (w40, sum_6);
c_sum_7    : wire port map (w50, sum_7);
c_cout     : wire port map (w57, cout);
end structural;

```



# Apéndice B

## SCRIPT PERL

---

```
#!/usr/bin/perl

#### Import Classes
use File::Copy;
use FileHandle;
####
#### Define constants
my $idPort = "id";

# Input File
my $file = $ARGV[0];

#
my %ports; # to store ports (ins & outs)
# and wire's name given
# by the VhdlNew.hs

### OPEN INPUT FILE
print "$file\n";
open(my $fhi, '<', $file) or die "archivo no encontrado";
open(my $fho, '+>', "temp-$file");
while(<$fhi>){
#Primero obtengo las entradas
if(m/.$idPort.+port.map.+\\([A-Za-z0-9_]+).+(w[0-9]+)/)
{
push @wires,$2;
push @wires,$1;
$ports {$2} = $1;
# print $fho "--$_"; # comento la linea
}

#Ahora obtengo las salidas, por ejemplo:
# c_sum_0 : std_wire port map (w1, sum_0);
# o como estas:
# c_cout : std_wire port map (w131, cout);
if(m/.$idPort.+(w[0-9]+)\\.?.?([A-Za-z0-9_]+)\\.*/)
```

---

```

{
$ports {$1} = $2;
print $fho "--$_"; # comento lo que quiero eliminar
} else {
print $fho "$_";}
# and the outputs
#if(m/([a-z]_[a-z]*_[0-9]+).+out/) {push @outs,$1;}
# I could use ins and outs to make the %ports hash table
}#while
close($fhi);
close($fho);

#copy("temp-$file", "temp2-$file");
# Replace all signals connected to wire with the inputs
#   c_w131      : std_or2   port map (w132, w141, w131);
# w131 should be replaced by the output

while(my($key,$value) = each(%ports)) {
open(my $fhi, '<', "temp-$file") or die "archivo no encontrado";
open(my $fho, '+>', "stripped-$file");
while(<$fhi){
if(s/(.+map.+)$key(\\,|\\))/ $1$value$2/g) {

#need to delete entries with the next pattern:  c_w18      : std_wire  port map ...
if(m/.$idPort.+/) {print $fho "-- deleted $_";}
else {print $fho "$_";}
else { print $fho "$_";}
    }# while file

close($fho);
close($fhi); #atenti no hacer close($fho, $fhi) porque no es lo mismo que en 2 reng
copy("stripped-$file", "temp-$file");
}#while hash table

```

# Apéndice C

## DESCRIPCIÓN EN LAVA DEL SUMADOR DE SKLANSKY

---

```
sklansky :: [(Bit, Bit)] -> ([Bit], Bit)
sklansky abs = (ss, cout)
  where
    gps          = map gpC abs
    (cs, cout)    = (skl (mkFan dotOp) ->- unsnoc ->- (map fst -|- fst) ) gps
    ((_,p) : gps) = gps
    rs           = zip cs gps
    ss           = p : map sumC rs
--
--
{-- La funcion dotOp utilizada es la
    misma que la que definimos para Brent-Kung.

dotOp ((g1, p1) , (g, p)) = (go, po)
  where
    go = or2 (g, and2 (p, g1))
    po = and2 (p, p1)
--}

{--
Funciones auxiliares utilizadas en el top level de sklansky:
--}
gpC :: (Bit, Bit) -> (Bit, Bit) -- Genera los g y p a partir de los bit de entrada a y b.
gpC (a,b) = (a <&> b, a <#> b)

sumC :: (Bit, (Bit, Bit)) -> Bit -- Realiza la ultima operacion (una XOR ) para calcular
sumC (cin, (_,p)) = cin <#> p

mkFan :: ((a,a) -> a) -> Fan a
mkFan op (i:is) = i:[op(i,k) | k <- is]

fsT f = (f -|- id)
snD f = (id -|- f)

unsnoc as = (init as, last as)
--
```

---

```

-- Red de prefijo de sklansky:
skl :: PP a
skl _ [a] = [a]
skl f as = init los ++ ros
  where
    (los,ros) = (skl f las, skl f ras)
    ros      = f (last los : ros)
    (las,ras) = splitAt (cnd2 (length as)) as

cnd2 n = n - n `div` 2 -- El techo de n/2
--

{--
  Version del sumador que acomoda el tipo de datos de sklansky
  para hacerlo compatible con el m dulo para generar el netlist VHDL.
  La version definida arriba toma una lista de tuplas. Y la que
  creamos aqui toma una tupla de listas:
--}
sklansky_ :: ([Bit], [Bit]) -> ([Bit], Bit)
sklansky_ (as,bs) = sklansky (zip as bs)
--

```

# Apéndice D

## BANCO DE PRUEBA PARA SIMULACIONES EN GNUCAP

---

### D.1. Análisis de potencia de los sumadores

Estas simulaciones tardaron aproximadamente 10 minutos para los circuitos de 8 bits, 1 hora para los de 16 bits y 14 horas para los circuitos de 32 bits. La computadora en que realizamos las simulaciones tiene 4GB de RAM y las siguientes características detalladas por el programa `lshw`:

```
*-cpu:0
  description: CPU
  product: Intel(R) Celeron(R) CPU 847 @ 1.10GHz
  vendor: Intel Corp.
  physical id: 41
  bus info: cpu@0
  version: 6.10.7
  serial: 0002-06A7-0000-0000-0000-0000
  slot: SOCKET 0
  size: 800MHz
  capacity: 3800MHz
  width: 64 bits
  clock: 100MHz
*-cpu:1
  physical id: 1
  bus info: cpu@1
  version: 6.10.7
  serial: 0002-06A7-0000-0000-0000-0000
  size: 800MHz
  capacity: 800MHz

*** Test bench para análisis de potencia del sumador
* Para usar este script:
* Para correr este script hacer:
gnucap -i tb_potencia.gnucap

* Pero antes es necesario hacer algunos enlaces simbólicos:
```

---

```

* Extraccion post-layout:
* ln -s ext_circuit.spi nombre_real_del_netlist_spice_extraido

* Circuito de excitacion de las entradas:
* ln -s inputs.spi nombre_real_archivo_excitacion
* Este script asume que los nombres de las entradas son:
* a0, a1, a2, ..., a_{n-1} (para el primer sumando)
* b0, b2, b3, ..., b_{n-1} (para el segundo sumando)
* s0, s2, s3, ..., s_{n-1} (para la suma)
* cout (para el acarreo de salida)
* Fin de la explicacion de uso.
*****

*****
* Configuraciones posibles
* Configuración para la frecuencia:
* Seteo el parametro para fijar la frecuencia en el circuito de excitación:
param periodo = 2.2n
* Nombre de archivo donde se registran los valores
* de potencia::
log gnuicap.log

* Para que converga la corriente con mejor resolución:
* Se podrá hacer más preciso a n, pero las simulaciones tardarán más
* sin tanta ganancia en precisión.
options dtmin=1e-15
options reltol= 10u
options abstol= 1f
* Fin de la configuración.
*****

*****
* Comienza el testbench:
* Cargo el circuito:

get ext_circuit.spi

* Cargo la excitación de entrada
.include inputs.spi

* Comienzo la simulación llevando el circuito
* al punto de operación por defecto (Temperatura 27 grados)
op

* Elijo en qué puntos voy a medir qué cosa:
* Si el circuito es más chico que 32 bits, da un error pero sigue todo bien.
probe tran v(a0)
probe tran + v(sum0) v(sum1) v(sum2) v(sum3) v(sum4) v(sum5)
v(sum6) v(sum7)
probe tran + v(sum8) v(sum9) v(sum10) v(sum11) v(sum12) v(sum13) v(sum14) v(sum15)
probe tran + v(sum16) v(sum17) v(sum18) v(sum19) v(sum20) v(sum21) v(sum22) v(sum23)
probe tran + v(sum24) v(sum25) v(sum26) v(sum27) v(sum28) v(sum29) v(sum30) v(sum31)
probe tran + v(cout) i(VVDC_vdd)
* Luego elijo que voy a grabar para graficar y medir:
store tran i(VVDC_vdd)

```

---

```
trans 0 {periodo*3} 0.01n > salida.spo

measure area = integrate(probe="i(VVDC_vdd)" begin=0 end=6n)

* Para potencia:
param t_i = {2*periodo}
param t_f = {3*periodo}
param t_tot = {t_f - t_i}
measure area = integrate(probe="i(VVDC_vdd)" begin=t_i end=t_f)
param total_energy = area*1.8
eval total_energy
param av_power = total_energy/t_tot
eval av_power
```

## **D.2. Análisis de performance en los sumadores**

---



# Apéndice E

## SCRIPTS PARA GRAFICAR LAS FORMAS DE ONDAS

---

```
#!/usr/bin/python
# coding: latin-1
# La segunda linea (# coding: latin-1) es necesaria para
# poder usar acentos y . Para entender el porqu , visitar:
# http://www.python.org/dev/peps/pep-0263/
from numpy import *
import pylab
import sys
import matplotlib.pyplot as plt
# Primero cargo el resultado de la simulaci n en un arreglo:
filename_str = sys.argv[1]
data = genfromtxt(filename_str, skip_header=0,unpack=True)

# http://matplotlib.sourceforge.net/api/figure_api.html#module-matplotlib.figure
print sys.argv[1]
totalPlots = len(data)
#####
# nob subplots sharing both x/y axes
f, eje = plt.subplots(totalPlots, sharex=True, sharey=False)

#eje[0].plot(data[0], data[1])
#eje[0].set_ylabel( a0 )
#eje[0].set_title(filename_str )

# Comienzo las etiquetas del resultado a partir del 3 elemento:
for i in range(1,len(eje)):
    eje[i].plot(data[0], data[i])
    eje[i].set_ylabel("s"+str(i))

# Escribo la segunda etiqueta:
#eje[1].plot(data[0], data[2])
#eje[1].set_ylabel( cout )

# Fine-tune figure; make subplots close to each other and hide x ticks for
```

---

```
# all but bottom plot.
f.subplots_adjust(hspace=0)
plt.setp([a.get_xticklabels() for a in f.axes[:-1]], visible=False)

# Escondiendo los ticks de todos los ejes Y:
plt.setp([a.get_yticklabels() for a in f.axes[:]], visible=False)

# Con este comando aparece la ventana con los graficos
plt.show()
```

# Bibliografía

---

- [1] MANUEL VALENCIA ADRIÁN ESTRADA, CARLOS J. JIMÉNEZ. Características de Sumadores en Tecnologías Fuertemente Submicrónicas. *IBERCHIP, DOC (TEC 2004-01509/MIC)*, 1982. 7
- [2] CHRISTIAAN BAAIJIS. Clash CAES language for synchronous hardware. <http://christiaanb.github.io/clash2/>. 20
- [3] A. BALIGA AND D. YAGAIN. Design of high speed adders using cmos and transmission gates in submicron technology: A comparative study. In *Emerging Trends in Engineering and Technology (ICETET), 2011 4th International Conference on*, pages 284–289, 2011. 8
- [4] D. BLAAUW, J. KITCHENER, AND B. PHILLIPS. Optimizing addition for sub-threshold logic. In *Signals, Systems and Computers, 2008 42nd Asilomar Conference on*, pages 751–756, Oct 2008. 41
- [5] R. P. BRENT AND H. T. KUNG. A Regular Layout for Parallel Adders. *IEEE Transaction on Computers*, **C-31**, Issue: 3:260–264, 2006. 7, 8, 13, 15
- [6] BHASKAR CHATTERJEE, MANOJ SACHDEV, AND RAM KRISHNAMURTHY. A cpl-based dual supply 32-bit alu for sub 180nm cmos technologies. 56
- [7] K. CLAESSEN AND M. SHEERAN. A tutorial on Lava: A hardware description and verification system. Website, 2014. <http://projects.haskell.org/chalmers-lava2000/Doc/>. 20, 23
- [8] KOEN CLAESSEN. Lava. a hardware description and verification language. <http://hackage.haskell.org/package/chalmers-lava2000>. 20
- [9] JAN DECALUWE. Myhdl. A hardware description and verification language. <http://hackage.haskell.org/package/chalmers-lava2000>. 20
- [10] STEVE RUBIN ET AL. Electric VLSI design system. <http://www.staticfreesoft.com/>. 36
- [11] NIKLAS EÉN AND NIKLAS SÖRENSON. Minisat. Minimalistic, open-source SAT solver. <http://minisat.se/>. 21, 27
- [12] J. HENNESSY AND D. PATTERSON. *Computer Architecture A Quantitative Approach*. Morgan Kaufmann Publishers, fourth edition edition, 2007. 5
- [13] S. KNOWLES. A family of adders. In *Computer Arithmetic, 2001. Proceedings. 15th IEEE Symposium on*, pages 277–281, 2001. 7

- 
- [14] PETER M. KOGGE AND HAROLD S. STONE. A parallel algorithm for the efficient solution of a general class of recurrence equations. *Computers, IEEE Transactions on*, **C-22**(8):786–793, Aug 1973. 7, 13
  - [15] RICHARD E. LADNER AND MICHAEL J. FISCHER. Parallel prefix computation. *JACM, Journal of the ACM*, **C-27**(4):831,838, Oct 1980. 7, 13
  - [16] L. MARSO. Brent-kung fast adder description, simulation and formal verification using lava. In *Micro-Nanoelectronics, Technology and Applications, 2008. EAMTA 2008. Argentine School of*, pages 111–114, Sept 2008. 23
  - [17] CARVER MEAD AND LYNN CONWAY. *Introduction to VLSI Systems*. Addison-Wesley, 1980. 35
  - [18] UNIVERSITY OF CALIFORNIA BERKELEY. Chisel. constructing hardware in a scala embedded language. <https://chisel.eecs.berkeley.edu/>. 20
  - [19] B. PARHAMI. *Computer Arithmetic: Algorithms and Hardware Designs*. Oxford University Press, 2000. 10
  - [20] J.M. RABAEY, A.P. CHANDRAKASAN, AND B. NIKOLIC. *Digital integrated circuits: a design perspective*. Prentice Hall electronics and VLSI series. Pearson Education, 2ed edition, 2003. 3, 4, 5
  - [21] P. RAMANATHAN AND P. T. VANATHI. A novel power delay optimized 32-bit parallel prefix adder for high speed computing. 56
  - [22] MINGOO SEOK, S. HANSON, YU-SHIANG LIN, ZHIYUONG FOO, DAEYEON KIM, YOONMYUNG LEE, N. LIU, D. SYLVESTER, AND D. BLAAUW. The phoenix processor: A 30pw platform for sensor applications. In *VLSI Circuits, 2008 IEEE Symposium on*, pages 188–189, June 2008. 39
  - [23] M. SHEERAN. Parallel prefix network generation: an application of functional programming In Hardware Design and Functional Languages. In *Hardware design and Functional Languages (HFL07), Braga, Portugal*, March 2007. 23
  - [24] J. SKLANSKY. Conditional sum addition logic. *RE Transactions on Electronic Computers*, **EC-9**(6):226–231, June 1960. 7, 13
  - [25] B. SUGLA AND D.A. CARLSON. Extreme area-time tradeoffs in vlsi. *Computers, IEEE Transactions on*, **39**(2):251–257, Feb 1990. 7
  - [26] LIP6 UNIVERSITÉ PIERRE ET MARIE CURIE. Alliance VLSI CAD System. <https://soc-extras.lip6.fr/en/alliance-abstract-en/>. 36
  - [27] CLIFFORD WOLF. Yosys Open SYnthesis Suite. <http://www.clifford.at/yosys/>. 36, 56